2 Ա84 Ա4 Ա. Ն ՍՍՀ ԳԻՏՈՒԹՅՈՒՆՆԵՐԻ ԱԿԱԳԵՄԻԱ АКАДЕМИЯ НАУК АРМЯНСКОЙ ССР

2 6 4 11 1 8 8 6 6 6 ПОКЛАЛЫ

XLV, No 2 1967

խմբագրական կոլեգիա

է. Գ. ԱՖՐիկՅԱՆ, կենսաբանական դիտությունների թեկնածու, Ա. Թ. ԲԱԲԱՅԱՆ, 2002 ԳԱ թղթակից-անդամ, Ա. Ա. ԹԱԼԱԼ-8ԱՆ, ՀՍՍՀ ԳՄ թոթակից-անդամ, Վ. Մ. ԻԱՌԱՅԱՆ, ՀՍՍՀ ԳԱ թղթակից-անդամ, Վ. Հ. ՀԱՄՔԱՐՉՈՒՄՑԱՆ, ակադեմիկոս, Վ. Հ. ԴԱԶԱՐՅԱՆ, ՀՍՍՀ ԳԱ թղթակից-անդամ (պատ. խմբագրի տեղակալ), Ս. Հ. ՄԻՐՋՈ-8ԱՆ, ՀՍՍՀ ԳԱ թղթակից-անդամ, Ս. Ս. ՄկրջջցևՆ, ՀՍՍՀ ԳԱ ակաղեմիկոս, Ա. Գ. ՆԱԶԱՐՈՎ, ՀՍՍՀ ԳԱ ակադեմիկոս (պատ. խմրագիւ), Օ. Մ. ՍԱՊՈՆՋՑԱՆ, ՀՍՍՀ ԳԱ թղթակից-անդամ, Մ. Լ. ՏԵՐ-ՄԻՔԱՅԵԼՅԱՆ, 2002 ԳԱ թղթակից-անդամ։

Редакционная коллегия

В. А. АМБАРЦУМЯН, академик, Э. Г. АФРИКЯН, кандидат биологических наук, А. Т. БАБАЯН, чл. корресп. АП АрмССР, В. О. КАЗАРЯН, чл.-корреси. АН АрмССР (зам. отв. редактора), С. А. МИРЗОЯН, чл-корресп. АН АрмССР, С. С. МКРТЧЯН, академик АН АрмССР, А. Г. НАЗАРОВ, академик АН АрмССР (отв. редактор), О. М. САПОНДЖЯН, чл.-корресп. АН АрмССР, А. А. ТАЛА-ЛЯН, чл.-корресп. АН АрмССР, В. М. ТАРАЯН, чл.-корресп. АН АрмССР, М. Л. ТЕР-МИКАЕЛЯН, чл.-корресп АН Арм CCP.

ԲՈՎԱՆԴԱԿՈՒԹՅՈՒՆ

ՄԵԽԱՆԻԿԱ

Դ. Ն. Բաղղասաբյան և Մ. Վ. Բելուբեկյան — Էլեկտրամազնիսական դաշտում գլանա- յին թաղանթի կայունության մասին
ՖիջիկԱ
Գ. Մ. Ավազյանգ, <i>Հայկական ՍՍՀ ԳԱ Թղթակից-անդամ</i> , Յու Ա. Ա <mark>բբանամյ</mark> ան, Ռ. Ալտման և Ց. Մ. Ալտման <i>—Գրեյֆող տրանդիստորների վոլտ-ամպերային ընութադիրը</i>
64-րբեվութ-ԱբԱնութsուն
Ա. Մ. Միսիթաբյան, Մ. Գ. Գաղստանյան, Ձ. Ձ. Ջույան և Ն. Հ. Պետւոսյան — Զրի մակերևույքից գոլորբիացումը կրճատող մոնոմոլեկուլյար քաղանքի արգյունավետության գնաշատման շնարավորության մասին, օգի Հոսանքի խոնավության տրանոֆորմացիայի ուսումնասիրման միջոցով
ուրջերըսկեն ՔիՄիԱ
2. 2. Չալրիկյան. Հայկական ՍՍՀ ԳԱ Թղթակից-անդամ, Ն. Մ. Բեյլեւյան, Թ. Տ. Ղու- կասյան և Կ. Հ. Քասակյան — Թթվածնի կլանման կիննտիկան պերսուլֆատ է դիալկիլա- մինասպիրտ սիստեմի կողմից ջրային լուծույթում
րի Ո ՔԻՄԻԱ
Ա. Ս. Հովճաննիսյան — Իջջի <i>Բաղանքի քափանցելիության կանոնավորման հարցի</i>
Ա. Շ. Գալստյան և Զ. Ս. Հավունջյան — վեռնային ապարների վրայի քարաքոսերի և սամուռների տակ առաջացած մանրահողի ֆերմենտային ակտիվության մասին
երկրաբանություն
Մ. Ա. Սարյան, Ժ. Հ. Ստեփանյան <i>և</i> Լ. Ս. Չոլախյան — <i>Վհղու օֆիոլիտային դոտու</i>
ՔՈՒՅՍԵՐԻ ՍԻՍՏԵՄՍ.ՏԻԿՍ.
ի, Մուլքիջանյան <i>— Նոր տարատեսակներ Հայաստանի ֆլորայից</i>
บารุแรนคนากาคอกาย
Մ. Մ. Յաբլոկով-Խեմույան — <i>Երկու Նոր տեսակ երկարակների Հայկական ՄՍՀ-ից</i> (Colcoptera, Curculionidae)
Ս. Վ. Պիպինով, Գ. Ս. Օւղույան և Ջ. Ս. Սաւգսյան — Ուղեղի նեյրոնային աշխուժու- Սյան միջիմպուլսային ընդմիջումների վիճակադրական վերյուծության մասեն

СОДЕРЖАНИЕ

ME	W A	1117	KA
$\Lambda\Lambda$ Fi	X/A	\mathbf{L}	\mathbf{r}
	4 5 4 8		

Г. Е. Багдасарян и М. В. Белубекян—Об устойчивости цилиндрической оболочки в электромагнитном поле	49
ФИЗИКА	
Г. М. Авакьянц, члкорр. АН Армянской ССР, Ю. А. Абрамян, И. Р. Альтман и Ц. М. Альтман Вольтамперная характеристика дрейфового транзистора (Р-П-Р)	56
метеорология	
А. М. Мхитарян, М. Г. Дагестанян, З. А. Зорян и Н. А. Петросян—О возможности оценки эффективности монослоев, снижающих испарение с водной поверхности, путем изучения трансформации влажности воздушного потока	6i
ФИЗИЧЕСКАЯ ХИМИЯ	
О. А. Чалтыкян, члкорр. АН Армянской ССР, Н. М. Бейлерян, Т. Т. Гу-касян и К. А. Касакян—Кинетика поглощения кислорода системами персульфат калия+спирты в водных растворах	67
БИОХИМИЯ	
А. С. Оганесян—К вопросу о регуляции проницаемости клеточной оболочки А. Ш. Галстян и З. С. Авунджян—О ферментативной активности мелкозема под лишайниками и мхами на горных породах	71 78
ГЕОЛОГИЯ	
М. А. Сатиан, Ж. О. Степанян и Л. С. Чолахян—О Вединском офиолитовом поясе	2.7
СИСТЕМАТИКА РАСТЕНИЙ	
Я. И. Мулкиджанян—Новые разновидности из флоры Армении	85
ЭНТОМОЛОГИЯ	
С. М. Яблоков-Хизорян Два новых вида долгоносиков из Армянской ССР (Coleoptera, Curculionidae)	38
ФИЗНОЛОГИЯ	
А. В. Пипинов, Г. С. Ордуян и Д. С. Саркисян—К статистическому анали- зу межимпульсных интервалов нейрональной активности мозга	92

NA-8596

МЕХАНИКА

Г. Е. Багдасарян и М. В. Белубекян

Об устойчивости цилиндрической оболочки в электромагнитном поле*

(Представлено академиком АН Армянской ССР С. А. Амбарцумяном 8/VII 1967)

Наличие скрещенных магнитного и электрического полей приводит к появлению нормальных пондермоторных сил, действующих на оболочку. Характер устойчивости проводящей оболочки в электромагнитном поле может существенно зависеть не только от пондермоторной силы, но и от температурных напряжений, обусловленных выделением джоулева тепла при прохождении тока в оболочке.

Задача решается в предположении, что до возникновения возмущений вследствие электрического тока в оболочке устанавливается определенное статическое температурное поле. Принимается также, что влиянием индуцированного электромагнитного поля можно пренебречь.

1. Пусть изотропная цилиндрическая панель постоянной толщины h отнесена к ортогональным координатам $(r, \theta x)$. Координатные линии θ , x совпадают с линиями кривизны срединной поверхности оболочки. Координатная линия r представляет расстояние по нормали от точки $(0, \theta, x)$ до точки (r, θ, x) оболочки.

Оболочка, изготовленная из материала с постоянной проводимостью \mathfrak{s} , находится в электромагнитном поле. Вектор напряженности магнитного поля H направлен по оси x, а вектор напряженности электрического поля E_0 — по оси θ .

В отношении тонкой пологой оболочки считается справедливым гипотеза недеформируемых нормалей.

Уравнение теплопроводности колеблющейся в электромагнитном поле оболочки с учетом выделения джоулева тепла запишется следующим образом $(^1)$:

$$\rho c_v \frac{\partial T}{\partial t} - \lambda \operatorname{div} \operatorname{grad} T = q. \tag{1.1}$$

Здесь ρ — плотность материала, c_v — удельная теплоемкость, λ — коэффициент теплопроводности, q — плотность тепловых источников, равная количеству тепла, выделяющемуся в единице объема тела в единицу времени.

Работа доложена на Всесоюзной конференции по проблемам устойчивости в строительной механике (Каунас, 1967 г.).

Для рассматриваемой задачи

$$q = E_0 j - \frac{1}{c} \left(j \times H \right) v, \tag{1.2}$$

где c — скорость света, v — вектор скорости перемещений частиц оболочки, j — плотность тока, определяемая согласно закону Ома.

$$j = \sigma \left[E_0 + \frac{1}{c} \left(v \times H \right) \right]. \tag{1.3}$$

Принимая возмущения оболочки малыми и линеаризируя уравнение (1.1), с учетом (1.2) и (1.3), получим уравнение теплопроводности в следующем виде:

$$\rho c_v \frac{\partial T}{\partial t} - \lambda \Delta T = \sigma E_0^2 - \frac{2\sigma E_0 H}{c} \frac{\partial w}{\partial t}, \qquad (1.4)$$

где w — нормальное перемещение срединной поверхности оболочки. Следуя методу, предложенному в работе (2), решение уравнения (1.4) представим в виде

$$T = T_0(\theta, x, t) + r\Theta(\theta, x, t). \tag{1.5}$$

Тогда уравнения устойчивости проводящей оболочки в электромагнитном поле с учетом температурных напряжений, вызванных джоулевым теплом, представляются следующим образом:

$$D\left[\Delta\Delta w + \alpha \left(1+\mu\right)\Delta\Theta_{1}\right] = \frac{1}{R} \frac{\partial^{2}\Phi}{\partial x^{2}} + P\left(\theta, x, t\right) - \rho h \frac{\partial^{2}w}{\partial t^{2}}$$

$$\frac{1}{Eh} \Delta\Delta\Phi + \alpha \Delta T_{1} + \frac{1}{R} \frac{\partial^{2}w}{\partial x^{2}} = 0$$

$$\frac{\partial T_{1}}{\partial t} - x\Delta T_{1} + \frac{2k}{c_{v}\rho h} T_{1} = -\frac{2\sigma H E_{0}}{c_{v}\rho c} \frac{\partial w}{\partial t}$$

$$\frac{\partial\Theta_{1}}{\partial t} - x\Delta_{1}\Theta + \frac{6}{c_{v}\rho h^{2}} \left(2h + kh\right)\Theta_{1} = 0$$

$$P\left(\theta | x, t,\right) = -\frac{\sigma h}{cR} H E_{0} \frac{\partial^{2}w}{\partial \theta^{2}} - \frac{\sigma h}{c^{2}} H^{2} \frac{\partial w}{\partial t}$$

$$T_{1} = T_{0} - \frac{T_{+} + T_{-}}{2} - \frac{\sigma E_{0}^{2}h}{2k}, \Theta_{1} = \Theta - \frac{k\left(T_{+} - T_{-}\right)}{2h + kh}$$

$$(1.7)$$

Здесь Φ (θ , x, t) — функция напряжений, R — радиус, E — модуль упругости, μ — коэффициент Пуассона, α — коэффициент температур ного расширения, $D = Eh^3/12 (1 - \mu^2)$ — цилиндрическая жесткость оболочки, $\chi = \lambda/c_v \, \rho$ — коэффициент температуропроводности, k — коэффициент теплоотдачи поверхности оболочки, T_+ и T_- — температуры среды на внешней и внутренней поверхностях оболочки соответственно.

До возникновения возмущений в оболочке, вследствие прохождения электрического тока и разности температур на поверхностях, устанавливается статическое температурное поле с температурой срединной поверхности $(T_+ + T_-)|_2 + \sigma E_0^2 h/2k$ и с температурным градиентом в направлении нормали к срединной поверхности $k(T_- - T_-)$: (2k + kh). Предполагается, что в дальнейшем (после возникновения возмущений) указанное температурное поле на краях оболочки поддерживается неизменным. Тогда из (1.7) видно, что T_1 и Θ_1 должны удовлетворять следующим граничным условиям

$$T_1|_{\Gamma} = 0, \qquad \Theta_1|_{\Gamma} = 0, \tag{1.8}$$

где Г — контур срединной поверхности оболочки.

Из четвертого уравнения системы (1.6) и второго условия (1.8) следует, что $\Theta = 0$.

2. Рассмотрим прямоугольную в плане шарнирно опертую оболочку, находящуюся в стационарном электромагнитном поле. В этом случае решения системы уравнений (1.6) с учетом первого условия (1.8), представляются в виде

где ω — частота колебаний, $\lambda_m = m\pi/a$, $\mu_n = n\pi/b$, a и b — длины соответствующих сторон панели.

Подставляя (2.1) в систему (1.6) и учитывая (1.5) и (1.7), получим выражение, определяющее температурное поле, а также характеристическое уравнение для определения частоты колебаний оболочки

$$T = \frac{T_{+} + T_{-}}{2} + \frac{\sigma E_{0}^{2}h}{2k} + \frac{k (T_{+} - T_{-})}{2k + kh} r - \frac{2\sigma H E_{0}}{c_{v} \rho c} e^{i\omega t} \sum_{i\omega + 7. (k_{m}^{2} + \mu_{n}^{2}) + 2k/c_{v} \rho h} \sin k_{m} x \sin \mu_{n} R^{6} (2.2)$$

$$i\omega^{3} + (\sigma H^{2} + \sigma)^{2} = (\Omega^{2} + \sigma H^{2} + \sigma R H E_{0} + \sigma R H E_{0}) i\omega - \frac{\sigma R H E_{0}}{\sigma R} = 0$$

$$i\omega^{3} + \left(\frac{\sigma H^{2}}{c^{2}\rho} + a_{1}\right)\omega^{2} - \left(\Omega^{2} + \frac{\sigma H^{2}}{c^{2}\rho}a_{1} - \frac{\sigma RHE_{0}}{\rho c}a_{2}\right)i\omega - \left(\Omega^{2} - \frac{\sigma RHE_{0}}{\rho c}\mu_{n}^{2}\right)a_{1} = 0,$$

$$(2.3)$$

гле

$$a_1 = \frac{2k}{c_v \rho h} + \chi \left(\lambda_m^2 + \mu_n^2 \right),$$

$$a_2 = \mu_n^2 + \frac{2\alpha E}{R^2 \rho c_v} \frac{\lambda_m^2}{\mu_n^2 + \lambda_m^2}$$

$$\Omega^{2} = \frac{D}{\rho h} \left[(\lambda_{m}^{2} + \mu_{m}^{2})^{2} + \frac{12(1 - \mu^{2})}{R^{2}h^{2}} \frac{\lambda_{m}^{4}}{(\lambda_{m}^{2} + \mu_{n}^{2})^{2}} \right].$$

Согласно теореме Гурвица, для уравнения (2.3) условиями устойчивости оболочки будут

$$\Omega^{2} - \frac{\sigma R H E_{0}}{\rho c} \quad \mu_{n}^{2} > 0,$$

$$\Omega^{2} + \frac{\sigma H^{2}}{c^{2}\rho} a_{1} - \frac{\sigma R H E_{0}}{\rho c} a_{2} > 0,$$
(2.4)

$$\left(\frac{\sigma H^2}{c^2 \rho} + a_1\right) \left(\frac{\Omega^2 + \frac{\sigma H^2}{c^2 \rho}a_1 - \frac{\sigma R H E_0}{\rho c}a_2\right) - \left(\frac{\Omega^2 - \frac{\sigma R H E_0}{\rho c}\mu_n^2}{\rho c}\mu_n^2\right)a_1 > 0.$$

113 (2.4) видно, что второе условие является следствием первого и третьего условий.

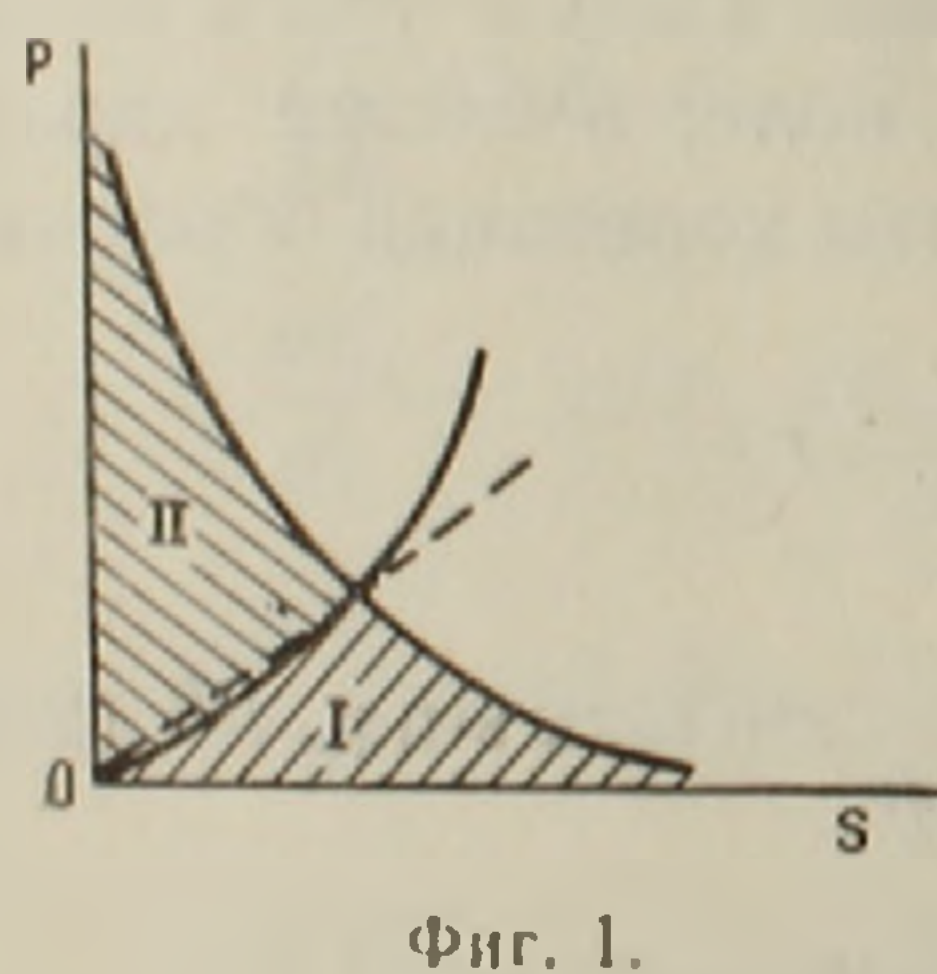
Введя безразмерные параметры, характеризующие напряженности электрического и магнитного полей,

$$s = \frac{H}{c V \rho}, \qquad p = \frac{E_0}{c V \rho},$$

согласно (2.4), получим, что область устойчивости оболочки ограничена на плоскости (s, p) кривыми

$$p < \frac{\Omega^2}{Rc\sigma\mu_n^2} \frac{1}{s}, \qquad p < \frac{(\sigma a_1 s^2 + \Omega^2 + a_1^2)s}{Rc \left[\sigma a_2 s^2 + a_1 \left(a_2 - \mu_n^2\right)\right]}. \tag{2.5}$$

На фиг. 1 согласно (2.5) приводятся характерные кривые, раз-



деляющие плоскость (s, p) на три части. Область 1 является областью устойчивости, а остальные две являются областями неустойчивости. В случае, когда не учитываются температурные напряжения, вместе с областью I и область II становится областью устойчивости. Таким образом, учет температурных напряжений, вызванных выделением джоулева тепла, может существенно уменьшить область устойчивости оболочки.

Если задачу решить при условии, что в уравнении теплопроводности пренебр егается член $\partial T/\partial t$, то вместо второй кривой из (2.5) получим прямую, которая на фиг. 1 показана пунктирной линией. Из фиг. 1 видно, что пренебрежение указанным членом приводит к увеличению области устойчивости, которое обычно оказывается незначительным.

3. Предполагается, что магнитное поле является нестационарным и изменяется по закону

$$H(t) = H_0(1 + \delta \cos \beta t)$$
 $|\delta| \ll 1.$ (3.1)

В этом случае решение системы (1.6) представим в виде

$$\Psi = \sum f_{mn}(t) \sin k_m x \sin \mu_n R\theta,$$

$$\Phi = \sum \phi_{mn}(t) \sin k_m x \sin \mu_n R\theta,$$

$$T_1 = \sum \psi_{mn}(t) \sin k_m x \sin \mu_n R\theta.$$
(3.2)

Подставляя (3.2) в систему (1.6) и пренебрегая членом $\partial T_1/\partial t$ после некоторых преобразований для определения стрелы прогиба оболочки $f_{mn}(t)$ получим следующее уравнение:

$$f_{mn}^* + \frac{\sigma H(t)}{\rho c^2} \left[H(t) - a_T E_0 \right] f_{mn}^* + \left[2^2 - \frac{\sigma E_0 R}{\rho c} \mu_n^2 H(t) \right] f_{mn} = 0,$$

$$a_T = \frac{2\alpha E E_0 h c}{R \left[2k + h \right] \cdot \left(\lambda_m^2 + \mu_n^2 \right) \left[-\frac{\lambda_m^2}{\lambda_m^2 + \mu_n^2} \right]}, \quad (3.3)$$

Исключая член с первой производной с помощью подстановки

$$f_{mn} = F_{mn}(t) \exp\left\{-\frac{\sigma}{2\rho c^2} \int H(t) \left[H(t) - a_T E_0\right] dt\right\}$$
(3.4)

и имея в виду (3.1), уравнение (3.3) приведем к виду

$$F''_{mn} + (\Omega_1^2 - 2q\cos 2\tau) F_{mn} = 0, \qquad (3.5)$$

где

$$\begin{split} \Omega_{1}^{2} &= \frac{4}{\beta^{2}} \left[\Omega^{2} - \frac{\sigma E_{0} H_{0} R}{\rho c} \; \mu_{n}^{2} - \left(\frac{\sigma H_{0}}{\rho c^{2}} \right)^{2} (H_{0} - a_{T} E_{0})^{2} \right], \\ q &= \frac{2\delta H_{0}}{\beta^{2}} \sqrt{b_{1}^{2} + b_{2}^{2}} \; , \qquad b_{1} = \beta \frac{\sigma}{\rho c^{2}} \left(H_{0} - \frac{1}{2} \; a_{T} E_{0} \right), \\ b_{2} &= \frac{\sigma E_{0} R}{\rho c} \; \mu_{n}^{2} + \frac{1}{\beta} \frac{\sigma H_{0}}{\rho c^{2}} b_{1} (H_{0} - a_{T} E_{0}), \\ 2\tau &= \beta t + \gamma, \qquad \gamma = \operatorname{arctg} \frac{b_{1}}{b_{2}}. \end{split}$$

Уравнение (3.5) относится к классу уравнений Матье и имеет решение с периодом π типа (3)

$$F_{mn} = e^{\mu_1 \tau} \sum_{k=1...n} c_{2k} e^{2ki\tau} \tag{3.6}$$

и решение с периодом 2π типа

$$F_{mn} = e^{\mu_3 z} \sum_{k=-\infty}^{\infty} c_{2k+1} e^{(2k+1)Iz}. \tag{3.7}$$

Подстановка (3.6) и (3,7) в уравнение (3.5) приводит к следующим двум системам линейных однородных алгебраических уравнений относительно коэффициентов c_{2k} и c_{2k+1}

53

$$c_{2k} + a_{2k}(c_{2k+2} + c_{2k-2}) = 0,$$
 (3.8)

$$c_{2k+1} + a_{2k+1} (c_{2k+3} + c_{2k-1}) = 0,$$

$$(k = \dots - 2, -1, 0, 1, 2, \dots).$$
(3.9)

тде

$$a_{2k} = q | [(2k - i \mu_1)^2 - \Omega_1^2],$$

$$a_{2k+1} = q | [2k + 1 - i \mu_2)^2 - \Omega_1^2].$$

Из условий существования нетривиальных решений систем (3.8) и (3.9) для определения характеристических показателей μ_1 и μ_2 получаются следующие уравнения:

$$ch \, \mu_1 \pi = 1 - 2\Delta_1 \, (0) \sin^2 \frac{\pi \Omega_1}{2}$$

 $ch \, \mu_2 \, \pi = 1 - 2\Delta_2 \, (0) \cos^2 \frac{\pi \Omega_1}{2}$

Здесь $\Delta_1(0)$ и $\Delta_2(0)$ — значения определителей Хилла для систем (3.8) и (3.9) при $\mu_1=\mu_2=0$. Согласно (3.6) и (3.7) из (3.4) получается следующее уравнение относительно частоты изменения магнитного поля β

$$ch\left[\frac{\pi}{\beta}\frac{\sigma H_0}{\rho c}\left(H_0-a_T E_0\right)\right]=1-\Delta_l(0)\left[1+(-1)^l\cos\pi\Omega_1\right]\ (l=1,2),$$

определяющее области динамической устойчивости оболочки.

Институт математики и механики Академии наук Армянской ССР

Գ. Ե ԲԱՂԳԱՍԱՐՑԱՆ Ե Մ. Վ. ԲԵԼՈՒԲԵԿՑԱՆ

ելեկտրամագնիսական դաշտում գլանային թաղանթի կայունության մասին

ատվող էլեկարական և մազնիսական դաշտերի առկայությունը ըերում է թաղանթի վրա աղղող նորմալ մասսայական ուժերի առաջացմանը։

աղորդիչ թաղանին կայունությունը կապես կախված է ոչ միայն այդ մասոայական ուժերից, այլև Չերմային լարումներից, որոնք պայմանավորված են թնագանթով անցնող էլեկտրական հոսանքի հետևանքով անՋատվող ջոուլյան Ջերմությամբ։

Խողիրը լուծվում է այն ենքագրությամը, որ մինչև գրդառմեների առաջայրութը Խաղանքում էլեկարական հոսանքի հետևանքով ստեղծվում է որոշակի ստատիկ ջերմային դաշտ, որը հետադայում թետանքի հորերում պատպանվում է անփոփոխո Ձերմաառանձդականության հավասարումները լուծվում են Վ. Վ. Բալոտինի կողմից առաջադրված

Որոշված ևն էլեկտրական և մազնիսական դաչտերի ինտենաիվությունների կրիտիկական արժեքները, որոնց դեպքում թազանիր կորցնում է կայունությունը։ Ցույց է արված, որ Չոուլյան ջերմության հաշվի ամնելը ըերում է թազանթի կայունության տիրույթի էական փոքրացմանը։ արտում արագրան իրագարան կարան կարան արանան արև արև և արևարան արև և արևարարարի իրագարան որև և արևարարարի արդարան ելեն ի

ЛИТЕРАТУРА — ЧГЦЧЦЪПЪРЗПЬЪ

¹ Л. Д. Ландау, Е. М. Лифшиц, Электродинамика сплошных сред, Гостехиздат, 1957. ² В. В. Болотин, ПММ, XXIV, вып. 2 (1960). ³ Э. Т. Уиттекер, Дж. Н. Ватсон, Курс современного анализа, т. 11, Физматгиз, М., 1963.

The state of the s

The state of the s

STREET BE STORY OF STREET OF STREET OF STREET

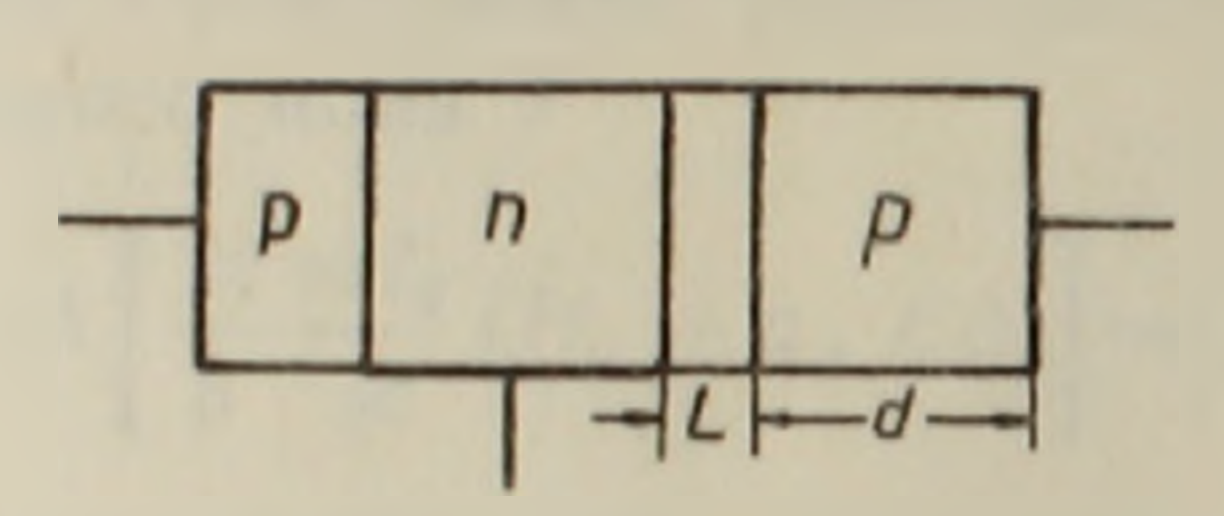
1967 XLV

Г. М. Авакьянц, чл.-корр. АН Армянской ССР, Ю. А. Абрамян, И. Р. Альтман и Ц. М. Альтман

Вольтамперная характеристика дрейфового транзистора (Р-П-Р)

(Представлено 12/XII 1966)

В дрейфовых транзисторах, в отличие от сплавных, при малы напряжениях на коллекторном переходе (единицы вольт) и больши токах ~ 10 ков. $a/c M^2$ наблюдается зависимость выходного тока 0величины напряжения коллектор — база. В этой же области напряжени



структуры дрейфового жение транзистора.

в транзисторе наблюдается избыточно накопление заряда, ухудшающее еп импульсные характеристики.

Обычно такое поведение транзисто ров связывается с режимом насыщения Фиг. 1. Схематическое изобра- характеризуемым инверсионным сме щением коллекторного перехода.

Для реального случая транзисто ров, выпускаемых промышленносты с $N_a \sim 10^{14} \ cm^3$ в исходном материале можно показать, что режи насыщения не является единственной возможностью, приводящей

наблюдаемой выходной вольтамперной характеристике.

Рассмотрим диффузионную структуру, представленную на фиг. | Будем считать коллекторный переход плавным, имеющим ширину (в дальнейшем не учитываем изменения L с напряжением и для про стоты берем среднюю напряженность поля в области объемного 31

ряда $\frac{V_k}{I} = E'$). Ширину толщи коллектора обозначим через d. общем случае дырочный ток через коллекторный переход запишет в виде:

$$j_{np} = pe\mu_p(E') \frac{V_n}{L},$$

где $\mu_p(E') = \mu_p\left(\frac{V_k}{L}\right)$ учитывает зависимость μ от E.

Рекомбинацией и диффузией в области перехода пренебрегае избы Уравнения, описывающие распределения поля и концентрации точных носителей в толще коллектора, защишутся в виде:

$$j_{n} = e\mu_{p} pE - eD_{p} \frac{dp}{dx}.$$

$$j_{n} = e\mu_{n} nE + eD_{n} \frac{dn}{dx}.$$

$$E = \frac{J}{e\mu_n n + e\mu_p p} - \frac{D_n \frac{dn}{dx} - D_p \frac{dp}{dx}}{\mu_n n + \mu_p p} \tag{2}$$

Условие нейтральности толщи коллектора:

$$n - p + N_a = 0$$
.

Из (2) имеем:

$$\frac{d^{2}n}{dx^{2}} + \frac{jN_{a}}{eD_{p} [(b+1)n + N_{a}] [2n + N_{a}]} \frac{dn}{dx}$$

$$= \frac{(b-1)N_{a}}{[(b+1)n + N_{a}] (2n + N_{a})} \cdot \frac{d^{2}n}{dx^{2}} \frac{n - n_{p}}{L_{n}^{2}} = 0. \tag{3}$$

Мы ставим целью выяснить поведение толщи коллектора при разных токах и напряжениях V_k . Для этого введем упрощающее предположение о том, что $b=\frac{\mu_n}{\mu_p}=1$. По-видимому, вклад в падение напряжения на толще в реальном случае будет еще меньше, поскольку b>1. Уравнение (3) с учетом b=1 сведется к

$$\frac{d^2n}{dx^2} + \frac{jN_a}{eD_p(2n + N_a)^2} \frac{dn}{dx} = 0. \tag{4}$$

(считаем, что L_n -диффузионная длина перавновесных носителей в P-область. $\gg d$ и рекомбинацией пренебрегаем).

Решением (4) с граничным условием (1) и $n(\alpha) = n_p$ (омический тыловой контакт) является выражение:

$$n - \frac{2jN_a}{eD_p 8C} \ln \left[\frac{2jN_a}{eD_p} + 4N_aC + 8nC \right] = Cx + B, \tag{5}$$

$$B = \frac{j}{e\mu_{p} \left[\frac{V_{k}}{L}\right] \frac{V_{k}}{L}} - \frac{jN_{a}}{4eD_{p}C} \ln \left[\frac{2jN_{a}}{eD_{p}} + 4N_{a}C + \frac{8j}{e\mu_{p} \left[\frac{V_{k}}{L}\right] \frac{V_{k}}{L}}\right]. \tag{6}$$

Численные оценки показывают, что в (5) в широком диапазоне токов (10 $a/c M^2 < j < 500 \ a/c M^2$) и $N_a \approx 10^{14} \ c M^{-3}$, можно пренебречь величиной n в (5) и считать под знаком логарифма C = const, независящей от тока. Численные расчеты показывают, что в указанном интервале токов "C" изменяется от $5 \cdot 10^{17} - 5 \cdot 10^{18}$.

Исходя из этого и воспользовавшись граничным условием при x = d, из (5) можно найти при $n(0) \sim N_a$

$$C = -\left(\frac{j}{6eD_p} + \frac{N_a}{d}\right).$$

Из (5), с учетом оценок, можно получить выражение для плотности электронов в толще коллектора

$$\frac{\frac{2jN_a}{eD_p} + 4N_aC + 8NC}{\frac{2jN_a}{eD_p} + 4N_aC + \frac{8j}{e\mu_p \left| \frac{V_k}{L} \right| \frac{V_k}{L}}} = e^{\frac{4C^2eD_p}{jN_a}} x$$
(6)

Для поля в толще коллектора имеем:

$$E = \frac{j}{e\mu_n \left(2n + N_a\right)} \,. \tag{7}$$

Из (7) с учетом (6) можно найти падение напряжения в толще коллектора:

$$V = -\int_{0}^{d} E dx = -\frac{j}{e\mu_{p} \alpha^{0} (N_{a} + 2A)} \left\{ -\alpha^{0} d - \ln \left[2 \left(B e^{-\alpha^{0} x} + A \right) + N_{a} \right] \right\},$$
(8)
$$a^{0} = \frac{4C^{2} e D_{p}}{j N_{a}},$$

$$B = \frac{1}{8C} \left(\frac{2j N_{a}}{e D_{p}} + 4N_{a}C + \frac{8Cj}{e\mu_{p} \left[\frac{V_{k}}{L} \right] \frac{V_{k}}{L}} C \right),$$
(9)
$$A = -\frac{1}{8C} \left(\frac{2j N_{a}}{e D_{p}} + 4N_{a}C \right),$$

$$C = -\left(\frac{j}{6e D_{p}} + \frac{N_{a}}{d} \right).$$
Из (8) при

Из (8) при

$$N_a > \frac{j}{e\mu_p \left[\frac{V_k}{L}\right] \frac{V_k}{L}},\tag{10}$$

следует, что

$$V = \frac{jd}{e\mu_{o}N_{a}} \tag{11}$$

При условии, что (10) не соблюдается, из (8) следует:

$$V = \frac{j}{e\mu_p \alpha \left(N_a + 2A\right)} \left(-\alpha d - \ln \frac{N_a}{N_a + n\left(0\right)}\right) \approx$$

$$\approx \frac{jd}{6e\mu_p N_a} + \frac{3}{2} \frac{kT}{e} \ln \left[\frac{2.5 - \frac{n\left(0\right)}{N_a}}{\frac{n\left(0\right)}{N_a} - 1}\right]. \tag{12}$$

 μ_3 (12) ясно видно, что падение напряжения при n (0) $\cong N_a$ меньше, чем омическое, и вольтамперная характеристика толщи подчиняется закону

$$j \sim V. \tag{13}$$

Из (12) и (11) следует, что переход от высокого уровня инжекции $(n(o) > N_a)$ к низкому ($N_a > n(o)$) сменяется переходом в падении напряжения на толще коллектора от $\frac{1}{6}$ части до чисто омического, обусловленного проводимостью исходного материала. Следовательно, с ростом напряжения на коллекторном переходе ослабляется модуляция толщи коллектора, что приводит к росту напряжения на ней.

Из (6) и (7) можно получить следующее значение тока электронов на границе толщи и объемного заряда коллектора

$$j_{n} = \frac{j^{2}}{e\mu_{p} \left[\frac{V_{k}}{L}\right] \frac{V_{k}}{L} \left[2n(o) + N_{a}\right]} - eD_{n} \left\{\frac{jN_{a}}{eD_{n} \left(4N_{a} + 8n(o)\right)} + C\right\}.$$
(14)

Из (14) при $N_a \sim n$ (o) следует, что существует добавочная утечка электронов в толщу коллектора, убивающая с ростом напряжения на коллекторном переходе.

В случае же малых токов $(n(o) < N_a)$ точное решение (3) дает для электронной утечки выражение

$$j_{n} = \frac{j^{2}}{e\mu_{n} N_{n} \frac{V_{k}}{I}},$$
(15)

где μ_n зависит от E.

В ы в о д ы. Модуляция толщи коллектора может являться одной из причин аномального поведения выходной вольтамперной характеристики дрейфовых транзисторов, поскольку наличие зависящей от напряжения электронной утечки тока в базу из толщи коллектора приводит к зависимости а (коэффициент усиления по току) от напряжения.

Из расчетов ясно, что с ростом выходного напряжения утечка ослабляется. При условии $\mu E = {
m const}$ наблюдается независимость утечки от напряжения и выход транзистора в активный режим.

Դ. Մ. ԱՎԱԳՅԱՆՑ, Հայկական ՍՍՀ ԳԱ թղթակից-անդամ, Ցու. Ա. ԱԲՐԱՀԱՄՅԱՆ, Ի. Ռ. ԱԼՏՄԱՆ և Ց. Մ. ԱԼՏՄԱՆ

Դրեյֆող առանգիստուների վոլա-ամպեռային բնութագիրը

այստիսի վարդագծի պատճառներից մեկը չանդիսանալ։

Հավելային հոսաները ըապայում ընկնում է երթային երքան աձի հետու Տրանդիստո րի ելթը ակաիվ ռեժիմում որոշվում է թ.E = const պայմանից։

метеорология

А. М. Мхитарян, М. Г. Дагестанян, З. А. Зорян и Н. А. Петросян

() возможности оценки эффективности монослоев, снижающих испарение с водной поверхности, путем изучения трансформации влажности воздушного потока

(Предстанлено академиком АН Армянской ССР И. В. Егиазаровым 26/VI 1967)

Как известно (1—3), в целях сокращения испарения с водной поверхности применяют поверхностно-активные вещества, которые на водной поверхности образуют сплошной монослой с некоторым двухмерным давлением, порядка 30—40 дин/см, при котором монослой эффективно сокращает испарение. Опыты показали, что при скоростях ветра не более 7—8 м/сек пленка хорошо сохраняется. Часть тепловой энергии, сэкономленной за счет сокращения испарения, безвозвратно теряется в иде дополнительного турбулентного теплообмена и собственного излучения водной поверхности в атмосферу, другая часть идет на повышение теплосодержания массы воды под пленкой и после исчезновения пленки снова частично расходуется на испарение. При достаточно эффективном сокращении испарения на 20—30°/о температура воды под пленкой повышается на 2—2,5° (1—4).

Научно-исследовательские работы по сокращению испарения в Армянской ССР были начаты осенью 1960 г. на водно-испарительной площадке бывшего Института водных проблем АН Армянской ССР и в последующем проводились в трех направлениях.

Во-первых, на водно-испарительной площадке проводились испытания различных монослоев, главным образом отечественного производства. Изучался тепловой баланс воды в испарителях при наличии на поверхности монослоя и без него.

Во-вторых, в натурных условиях на Артанишском реликтовом озере площадью 0,45 км² проводились работы непосредственно с целью уменьшения испарения.

Для этой цели на Артанишском озере создавались сплошные монослои длительное время, и по методу водного баланса определялось испарение с поверхности озера, которое затем сопоставлялось с испарением плавучих испарителей. Было доказано, что испарение сокращалось на $18-20^{\circ}/_{0}$.

В открытой лаборатории института был создан забетонированный испарительный бассейн площадью 650 μ^2 (50×13) и глубиной 1,4 μ .

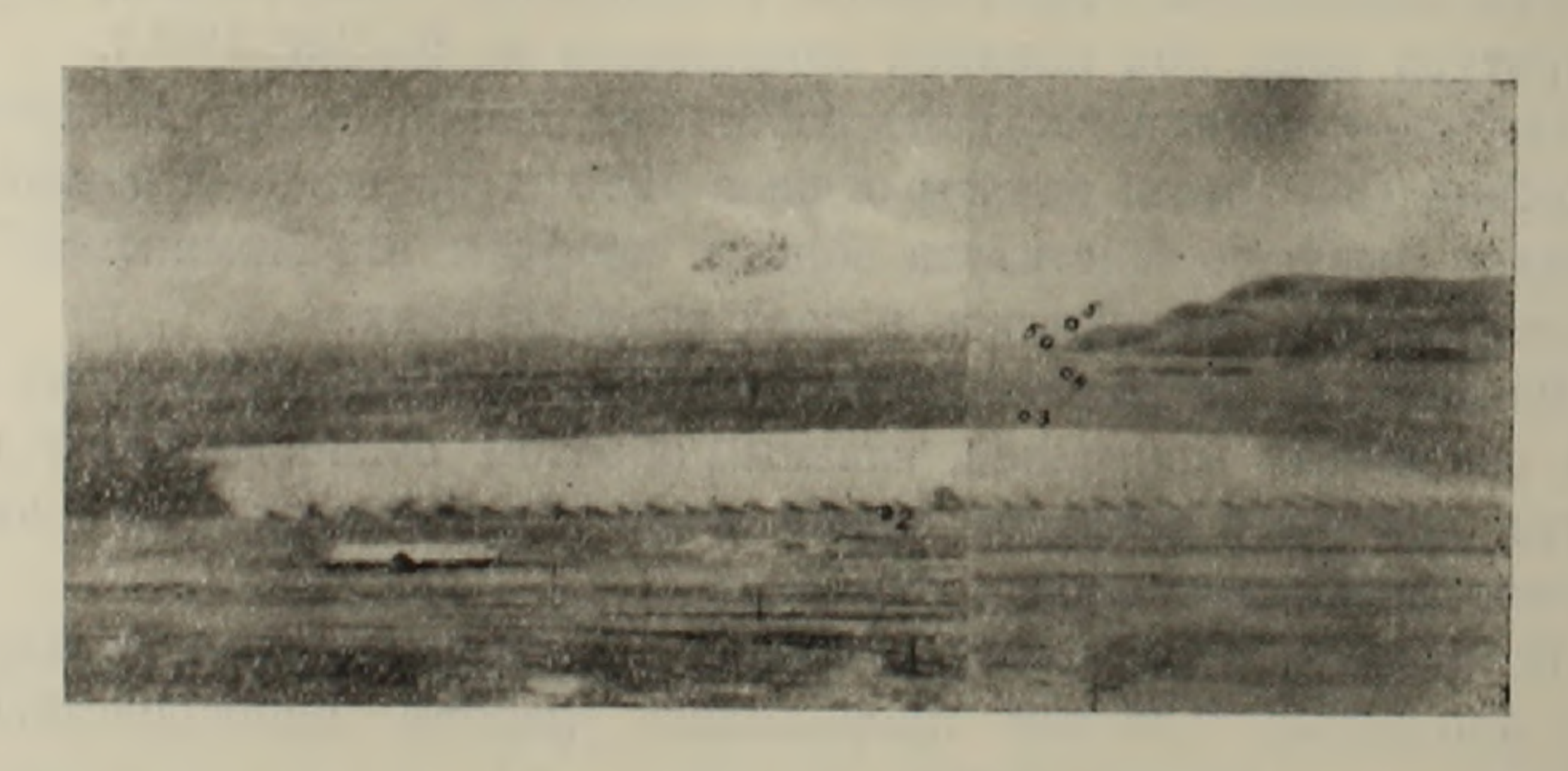
Бассейн на одном конце снабжен специальным волнопродуктором, а на другом — аэродинамическим стендом, которые дают возможность создавать волны высотой до 10-15 см и воздушный поток со $_{\rm CKO}$, ростью до 3-5 м/сек на высоте нескольких десятков сантиметров $_{\rm Hall}$ водной поверхностью. На этом бассейне проводились испытания $_{\rm Hell}$ номолекулярных пленок на сопротивляемость ветру и волнениям. $_{\rm Pell}$ зультаты всех этих работ опубликованы $_{\rm Cell}$ $_{\rm$

Наконец, летом 1964 г. проводились работы по созданию пленочных ковров площадью до 4—6 км² на акватории оз. Севан, в Ар. танишской бухте. Результаты этих работ можно найти в соответствующих отчетах института (В. Н. Жамагорцян, Б. И. Бек-Мармарчев А. Г. Лазарян, К. Х. Овсепян и др.).

Для оценки эффективности монослоев могут быть применены методы водного и теплового балансов, испарателей и др. В частности, метод водного баланса (2), примененный для Артанишского озера, условиях оз. Севан также может быть использован, но, чтобы достичь удовлетворительной точности в оценке эффективности пленки, необходимо, чтобы водоем был покрыт ею на 70—80% площади в течение 4—5 месяцев.

Эффективность пленки может быть оценена и по методу теплового баланса, а также путем изучения температурного режима водоема и т. д.

Поскольку летом 1964 г. над Артанишской бухтой изучалась трансформация воздушного потока и характерные изменения температуры, влажности и ветра в отсутствии монослоя уже были известны, то этот процесс изучался и в случае, когда бухта покрывалась монослоем.



Фиг. 1. Ковер монослоя на Артанишской бухте. 2- берег; 3 и 5-плот; 4- коса.

На берегу (точка 2 фиг. 1) были установлены автоматы, которые подавали химикат, образуя ковер шириной 600—700 м. Этот ковер примерно через два часа достигал косу (точка 3 на фиг. 1), пройдя таким образом расстояние 2 км со средней скоростью 1 км/час, при средней скорости ветра на высоте 2 м порядка 8 м/сек. Таким обра-

зом, дрейф пленки совершается по направлению ветра со скоростью 1/25—1/30 скорости ветра на высоте 2 м.

В то время, когда пленочный ковер, шириной около 1 км и длиной 2 км, т. е. от берега до косы, сохранялся, проводились измерения профилей скорости ветра, влажности и температуры воздуха. На берегу, косе и на плоту (точки 2, 4 и 5, соответственно) были установлены градиентные мачты высотой 12 (берег и плот) и 24 м (коса). Скорости ветра непрерывно записывались на ленту по показаниям электроконтактных анемометров, установленных на высотах 0,5; 1; 2; 4; 8 и 12 м на берегу и на плоту, а на косе на высоте 16 и 24 м. Влажность и температура воздуха измерялись на высотах 0,25; 0,5; 1 и 2 м. Такие же наблюдения проводились в течение длительного времени и в отсутствие монослоя, причем во всех случаях ветер имел устойчивое направление от берега к косе.

Результаты экспериментальных исследований трансформации скорости, влажности и температуры воздушного потока при его переходе с суши на водоем без монослоя на водной поверхности опубликованы в работе авторов (5). Мы здесь путем сравнения результатов трансформации при наличии на водной поверхности монослоя и без него попытаемся оценить эффективность монослоя в смысле сокращения испарения.

Ниже приводятся результаты обработки одного опыта, когда развитый ковер монослоя сохранялся между берегом и косой и в течение 5 часов проводились наблюдения. При этом от косы к плоту (точка 5) пленки не было и имела место обычная трансформация.

Таблица 1 Трансформация температуры и влажности воздуха над Артанишской бухтой (август, 1964 г.) при наличии монослоя и без него. Направление ветра с берега

		Т, на в	ысотах		е, на высотах						
Пункты	0,25	0,50	1,0	2,0	0,25	0,50	1,0	2,0			
При наличии монослоя											
б к n	16,6 15,4 15,6	16,0 15,2 15,3	15,6 15,0 15,1	15,4 14,6 14,8	12,4 12,1 13,5	11,7 11,6 12,2	11,5 11,2 11,4	10,9			
	Без монослоя										
б к n	19,0 14,8 15,2	18,0 14,5 14,9	16,7 14,4 14,4	15,7 14,1 14,2	10,4 12,7 13,2	10,3 12,2 12,1	10,2 11,5 11,5	10.0			

Обозначения: δ — берег; κ — коса; n — плот; T— температура воздуха; e — упругость водяных наров в м δ .

Здесь же для сравнения приведены средние данные тоже 5 часов наблюдений, проведенных в отсутствие монослоя, но в условиях, когда профиль скорости ветра, разность температур вода—воздух практ

тически совпадают с таковыми при наличии монослоя. В частности, скорость на высоте 2 м на плоту при пленке и без нее равнялась $v_2 = 5.2 \ \text{м/сек}$, $\Delta T = T_0 - T_2 = 4.4$. Совпадали, конечно, и средние значения параметра устойчивости — $\Delta T/v_2^2 = 0.16$.

Данные табл. 1 показывают любопытный результат. Если в случае без пленки от берега к косе происходит значительное понижение температуры и значительный рост влажности, а от косы к плоту некоторый рост температуры, а влажность почти не изменяется, то при наличии пленки падение температуры от берега к косе незначительное, а влажность вовсе не увеличивается, от косы к плоту температура не изменяется, а влажность растет в значительной степени. Это означает, что пленка настолько эффективно сокращает испарение, что обычное увеличение влажности на $8-12^{0}/_{0}$ не наблюдается, начало трансформации как бы переносится от берега к косе, откуда и начинается этот процесс к плоту в обычных пределах.

Попытаемся оценить сокращение испарения, считая, что степень трансформации влажности известна по наблюдениям.

Напишем формулу для расчета испарения в отсутствие пленки в следующем виде (5,6)

$$LE_0 = D(e_0 - e_2).$$
 (1)

Здесь LE_0 — затраты тепла на испарение (E_0) ; D — интегральный коэффициент обмена: e_1 и e_0 — влажности воздуха на высоте 2 м и насыщения при температуре поверхности воды (T_0) . Формулу испарения при наличии пленки формально можно взять в том же виде (1), при том же коэффициенте обмена и влажности насыщения, и поскольку опыт показал, что небольшое изменение претерпевает e_2 , положим

$$LE_{\pi} = D(e_0 - \sigma e_2), \qquad (2)$$

где σ — степень увеличения влажности от берега к косе, когда не было монослоя. Предельное значение этой величины, т. е. σ_{np} , может быть определено из условия $LE_n=0$, т. е.

$$e_0 - \sigma_{\rm np} e_2 = 0$$
, $\sigma_{\rm np} = e_0/e_2$. (3)

Годовой ход этой величины по данным для оз. Севан (⁷) при веден в табл. 2.

Годовой ход величины опр

Меся-	1	II	111	IV		VI				X	ΧI	XII	Год
σ _{np}	1,97	1,86	1,57	1,24	1,18	1,30	1,40	1,52	1,69	1,85	1,91	1,94	1,62

Ясно, что величина σ удовлетворяет условию $1 \leqslant \sigma \leqslant \sigma_{np}$. Согласно (2) при $\sigma = 1$ $LE_n = LE_0$, испарение происходит как с поверхности чистой воды; при $\sigma = \sigma_{np}$ $LE_n = 0$, испарение над пленкой прекращается.

Назовем эффективностью (Э) величину сокращения испарения, отнесенную к испарению с поверхности чистой воды, т. е.

$$\partial = \frac{E_0 - E_n}{E_0} = 1 - \frac{E_n}{E_0}. \tag{4}$$

Подставляя сюда (1) и (2), получим

$$9 = \frac{\sigma - 1}{\sigma_{np} - 1} \tag{5}$$

По этой формуле может быть вычислена экономия испарения, причем опр берется по табл. 2, о — по наблюдениям при наличии монослоя и без него.

Согласно табл. 1 имеем $\sigma=1,11$, а по табл. 2 для августа $\sigma_{\rm mp}=1,52$, тогда

т. е. сокращение испарения составило 21,2%. В это же время на водно-испарительной площадке на двух испарителях площадью 20 и плубиной 2 м проводились параллельные наблюдения за испарением, причем в одном испарителе вода находилась под тем же монослоем (вторые неомыляемые спирты). За 12 часов светлой части суток (с 7 до 19 часов) экономия испарения по испарителям составила 23,1%. Разность температур воды под пленкой и без нее составила 0.6°C.

Следует отметить, что опыт на испарителях в этот день уже подходил к концу, поэтому получен небольшой процент сокращения испарения. В действительности экономия испарения на испарителях была значительно больше $23^{0}/_{0}$, например, накануне она составила более $30^{0}/_{0}$.

Следует также отметить, что экспериментального материала очень мало и желательно было бы на большом количестве экспериментальных материалов уточнить предложенную методику по оценке эффективности монослоев. Вместе с тем отсутствие большего количества опытов не умаляет значения этой методики, так как она основывается на положениях, хорошо известных из теории и практики (5) влагообмена. Известно, что воздушный поток при переходе с сущи на водоем обогащается водяными парами вследствие испарения с водной поверхности, монослой же препятствует этому процессу.

Таким образом, можно сделать вывод о том, что путем изучения особенностей процесса трансформации влажности воздуха под влиянием водной поверхности при наличии на ней монослоя и без него на малых водоемах или в прибрежной полосе больших водоемов можно приближенно оценить экономию испарения или эффективность монослоев.

Ջբի մակերևույթից գոլուշիացումը կրճատող մոճոմոլեկուլյար թադանքի արդյունավետության գնանատման հնարավորության մասին, օդի հոսանքի խոնավության տրանսֆորմացիայի ուսումնասիրման միջոցով

Հողվածը նվիրված է մոնոմոլնկուլյար թաղանիի հնտևանրով ջրամբարներից դոլորշիացմակ կրճատման արդյունավնտության գնահատման մնթողիկային՝ խոնավության տրանոֆորմադիայի ուսումնասիրության Դիման վրաւ

Սևանա լճի վրա կատարված փորձերը ցույց տվեցին, որ մոնոմոլեկուլյար Բաղանթի առ կայության դնպքում լճի մակնրնոից կատարված դոլորչիացման կրճատման հնտևանքով օդի խո նավության տրանսֆորմացիան համեմատարար ավնլի փոքր է, քան մոնոմոլեկուլյար թաղանթի բացակայության ղնութում, նրբ ափից 2 կմ հնռավորության վրա խոնավության աճը 2 մետր բարձրության վրա կազմում է 10—12% ւ Տեղին է նշել, որ գործնականում խոնավության տրանս ֆորմացիան այդպիսի հնռավորության վրա արդեն վերջացած է լինում և

Հիմնվելով վերը նշված փաստի վրա, դուրս է բնրված (5) րանաձևը, որով կարելի է հաշվել գոլորշիացման կրձատման հետևանքով տնտեսված ջրի քանակը, երբ հայտնի են խոնավության տրանսֆորմացիայի համապատասխան դործակիցները, որոնք որոշվում են փորձնական ճանա-պարձով

JI M T E P A T S P A — 9 P U U U U U D A P P S A P U

¹ И. В. Егиазаров, "Известия АН АрмССР", сер. ТН, № 3 и 6, 1960, № 2 1961 и № 4, 1962. ² "Известия АН АрмССР", сер. ТН, № 2—3, 1963, Юбилейный сборник, статьи по монослоям. ³ В. С. Макарова, А. М. Мхитарян, "Известия АН АрмССР", сер. ТН, № 3, 1961. ⁴ М. П. Тимофеев, Метеорологический режим водоемов, Гидрометеоиздат, Л., 1963. ⁵ А. М. Мхитарян, М. Г. Дагестанян, З. А. Зорян, Н. А. Петросян, "Известия АН АрмССР, сер. ФМ, т. 18, № 4 (1965). ⁶ А. Р. Константинов, Испарение в природе, Гидрометеоиздат, Л., 1963. ⁷ А. М. Мхитарян, Испарение с поверхности оз. Севан, Результаты комплексных исследований по Севанской проблеме, т. 1, Ереван, 1961.

ФИЗИЧЕСКАЯ ХИМИЯ

О. А. Чалтыкян, чл.-корр. АН Армянской ССР, Н. М. Бейлерян, Т. Т. Гукасян и К. А. Касакян

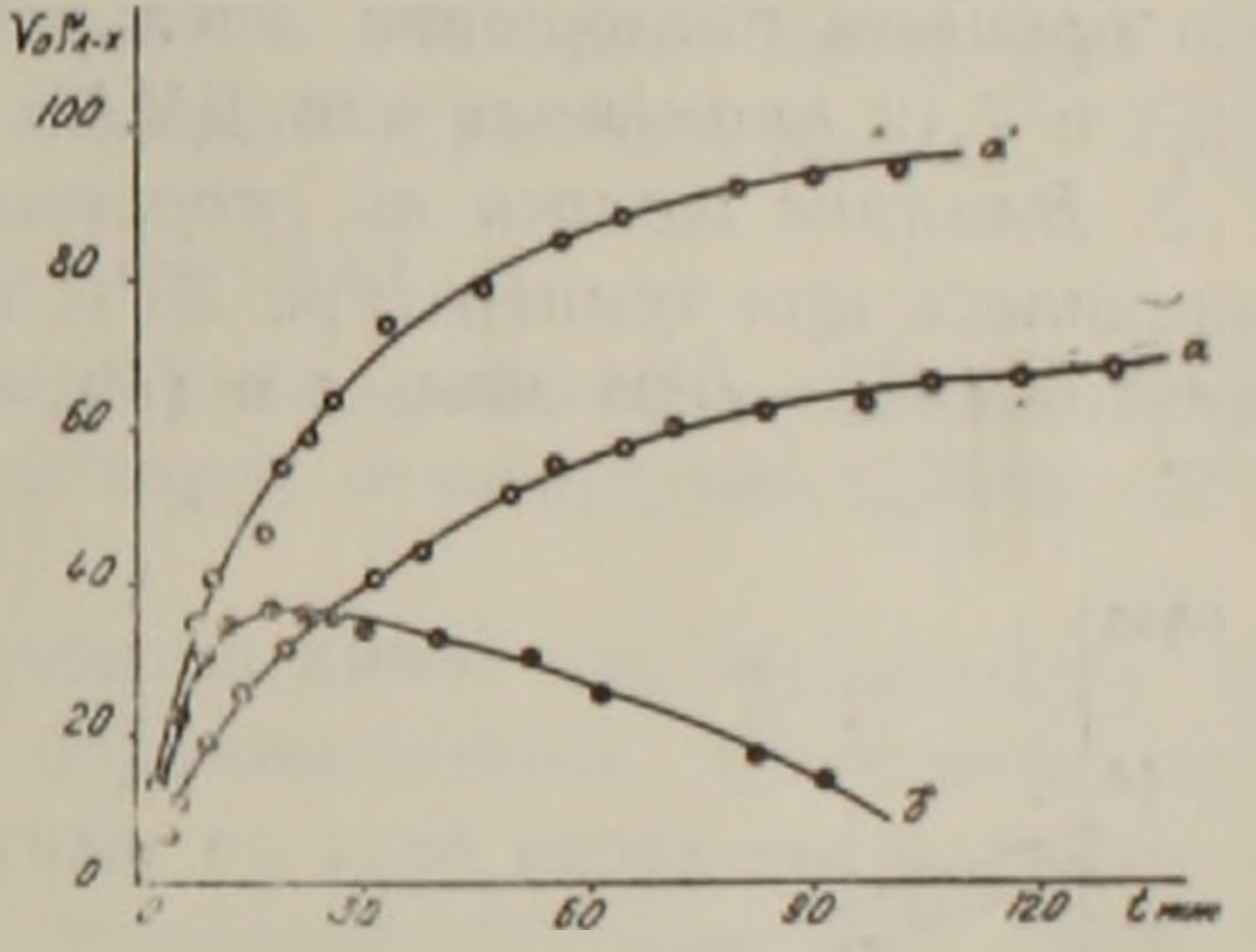
Кинетика поглощения кислорода системами персульфаткалия диалкиламиноспирты в водных растворах

(Представлено 25/111 1967)

Виниловые мономеры—стирол, акрилонитрил, винилацетат легко полимеризуются в присутствии систем персульфат + диалкиламиноспирты. Кислород значительно замедляет указанные реакции. Для того, чтобы понимать замедляющее действие кислорода, необходимо было изучать кинетику поглощения кислорода системами персульфат + диалкиламиноспирты (диметиламиноэтанол (ДМАЭ) и диметиламинобутанол

(ДМАБ)). Опыты ставились в водных растворах. Скорость поглощения кислорода определялась аппаратом Варбурга. Температура термостата поддерживалась с точностью +0,02°C.

Кинетические кривые приведены на фиг. 1 в координатах V_0 — объем поглощенного кислорода в микролитрах, приведенный к нормальным условиям и t — время в минутах. Кинетические кривые двух типов: к типу ов относятся те

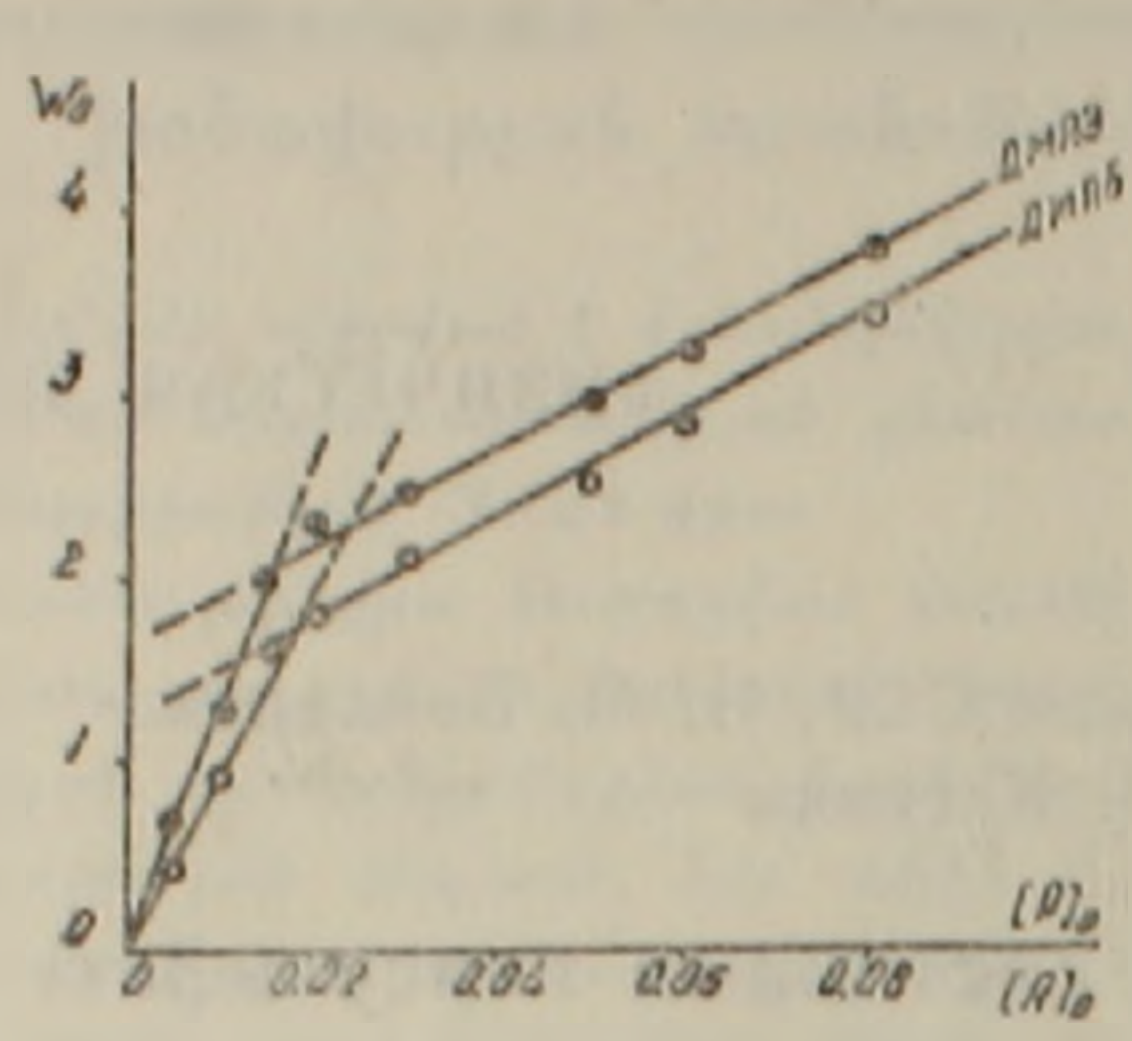


Фиг. 1. Зависимость объемов поглощенного кислорода в микролитрах от времени. Условия опытов: $(s) - (A)_0 (P)_0 \neq 2$, (a) и $(a') - (A)_0 (P)_0 = 2$. 1 = 35 С.

случан, когда отношение начальных концентраций амина и персульфата отличаются от стехнометрического, т. е. когда $(A)_0/(P_0) \neq 2$. Кривые оа и оа' относятся к случаям, когда $(A)_0/(P_0) = 2$.

1. Влияние начальных концентраций реангентов на скорость поглощения кислорода. В одной серии опытов изменялась концентрации рация одного компонента при постоянной начальной концентрации другого ($(P)_0 = 0.04 \ \text{моль/л} = \text{const}$, переменная начальная концентрация ДМАЭ и ДМАБ в пределах $(0.5-8)\cdot 10^{-2} \ \text{моль/л}$), а в другой серии опытов производилось обратное. Все опыты ставились при температуре $35^{\circ} \pm 0.02^{\circ}$ С.

Полученные данные приведены на фиг. 2, где W_0 — начальная скорость поглощения кислорода, определенного из начального периода кинетических кривых в микролитрах мин.



Фиг. 2. Влияние начальных концентраций реагентов на скорость поглощения кислорода. Начальные концентрации ДМАЭ и ДМАБ варьированы в пределах (0,5—8) 10⁻² моль/л и обратное.

Условия опытов: $(P)_0 = 0.04 \text{ моль/л} = \text{const}, \ t = 35^{\circ}\text{C}.$

Из фиг. 2 следует, что:

$$W_0 = k_{s \phi \phi} [(P)_0 (A)_0]^n$$

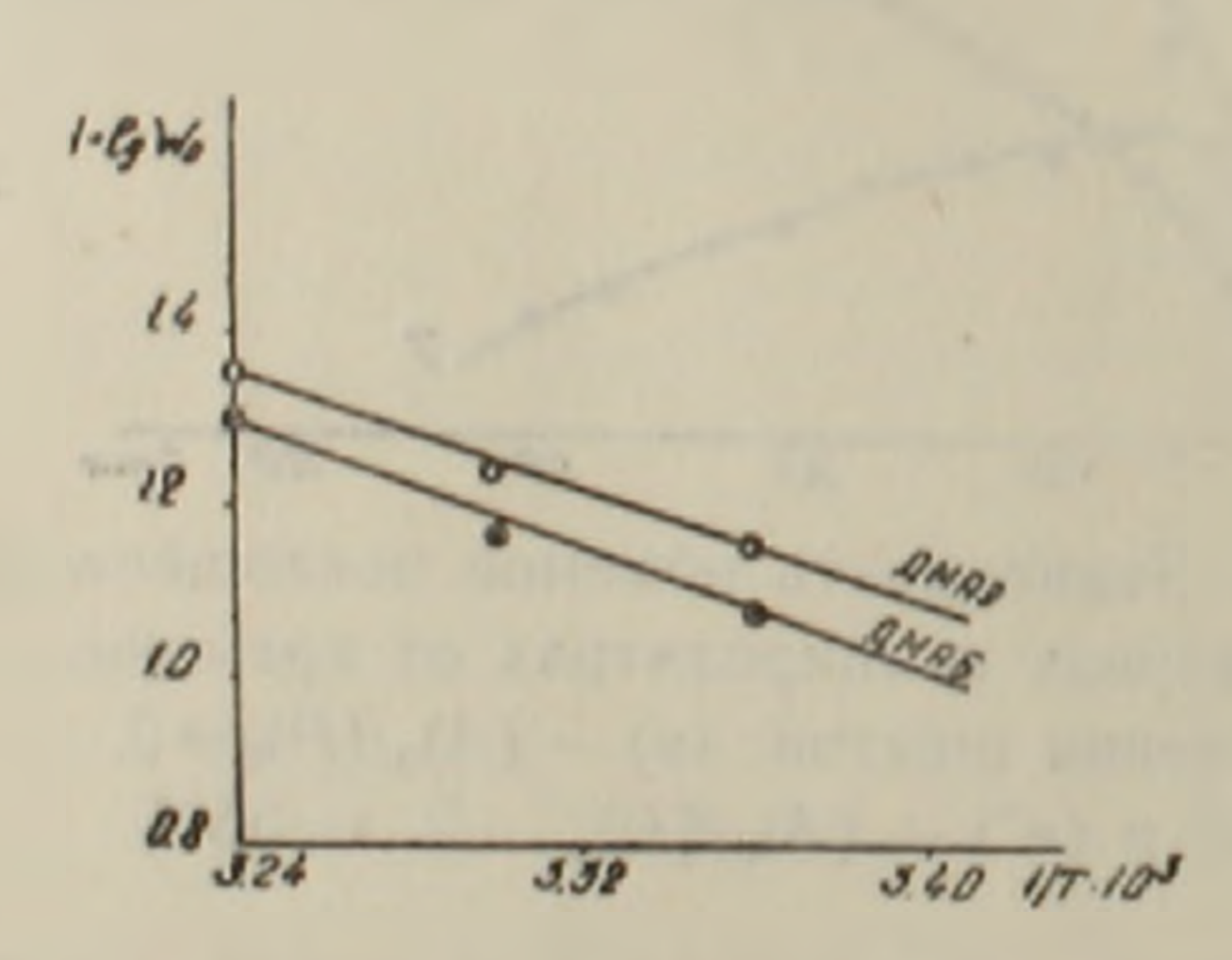
где n=1 при начальных концентрациях реагентов ≤ 0.02 моль/л; при более концентрированных растворах относительно ДМАЭ, ДМАБ и P n<1.

2. Определение температурной зависимости скорости поглощения кислорода. Температурная зависимость скорости поглощения кислорода определена при температурах 20, 25, 30 и 35°C и при условиях: $(A)_0 = 0,04$ моль/л и $(P)_0 = 0,02$ моль/л.

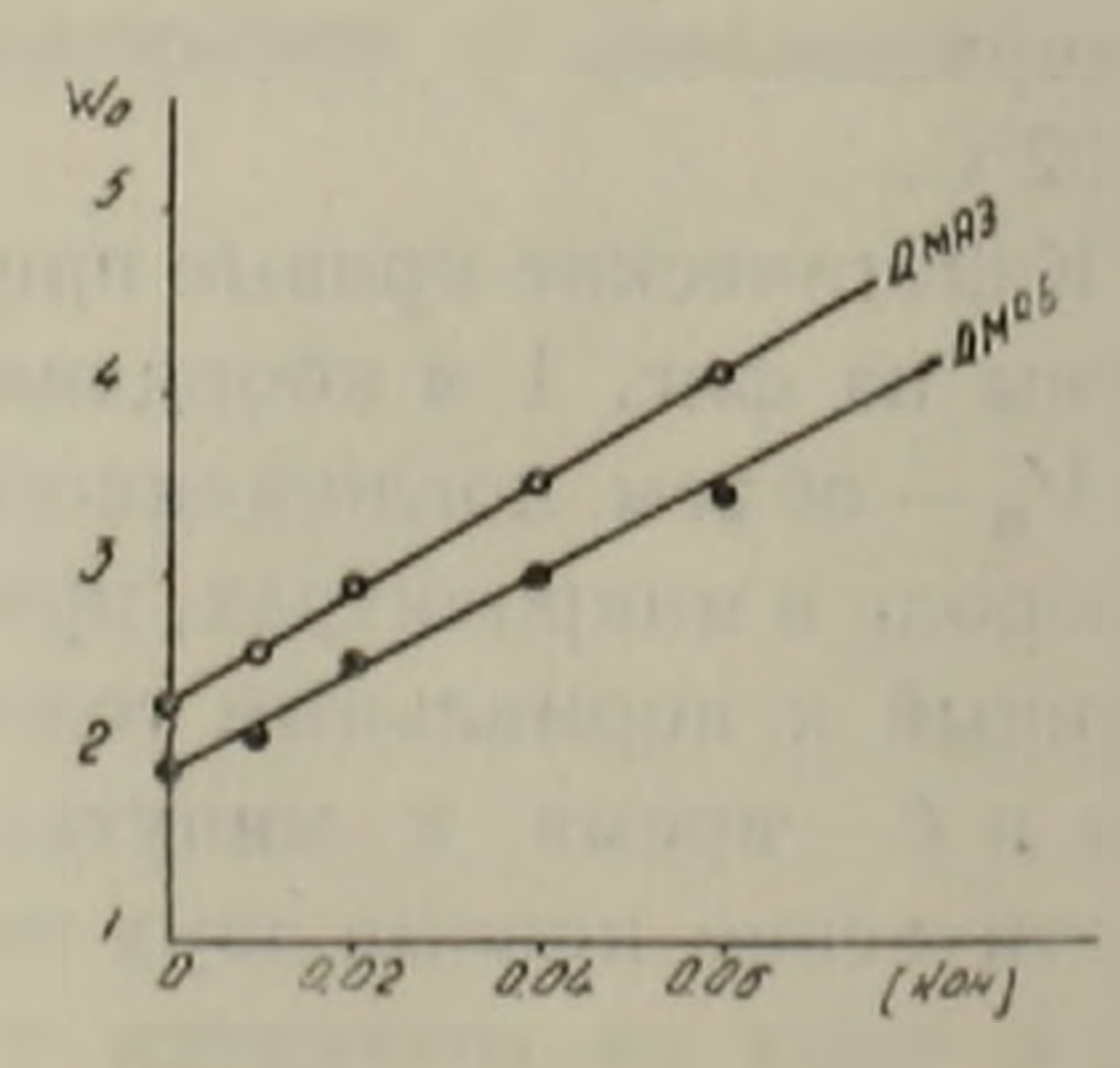
Данные измерения приведены

на фиг. З в аррениусовских координатах. Эффективная энергия активации процесса поглощения кислорода равна 6,93 *ккал/моль* для ДМАЭ и 7,12 *ккал/моль* для ДМАБ.

3. Влияние щелочи на скорость поглощения кислорода. Опыты ставились при температуре 35° С и при начальных концентрациях реагентов $(A)_0 = 0.04$ моль/л и $(P)_0 = 0.02$ моль/л.



Фиг 3. Температурная зависимость скорости поглощения кислорода. Условия опытов: $(A)_0 = 0.04$ моль/л, $(P)_0 = 0.02$ моль/л, t = 20, 25 и 30 и 35°C.



Фиг. 4. Влияные щелочи на скорость поглощения кислорода. Условия опытов: $(A)_0 = 0.04$ моль/л, $(P)_0 = 0.02$ моль/л, t = 35°C.

Из фиг. 4 следует, что существует прямолинейная зависимость между скоростью поглощения кислорода системами персульфат—ДМАЭ и концентрацией взятой щелочи (КОН). Такая же зависимость получена для реакции персульфата с ДМАБ в присутствии различных количеств щелочи. Скорость поглощения кислорода в присутствии щелочи протекает без периода индукции.

Линейная зависимость между скоростью поглощения кислорода и концентрацией взятой щелочи говорит о том, что щелочь катализирует гомолитический распад персульфата в комплексе аминоспирт—персульфат.

Из кинетических кривых, приведенных на фиг. 1, следует, что если в системе имеется избыток персульфата или аминоспирта, протекает распад промежуточно образовавшегося кислородсодержащего соединения с выделением газа, по всей вероятности кислорода.

Когда отношение $(A)_0/(P)_0$ стехиометрическое, то нет обратного выделения газа. Видимо, этим и объясняется уменьшение порядка реакции по компонентам. По-видимому, скорость поглощения кислорода надо рассмотреть как разность двух скоростей: скорости образования кислородсодержащего промежуточного соединения (X) и скорости распада последнего под действием избытка персульфага или аминоспирта, т. е.

$$-\frac{d(O_2)}{dt} = k_1(P)(A) - k_2 f[X, P(или A)].$$

Несмотря на то, что эффективная энергия активации практически не зависит от расстояния спиртовой группы от атома азота, однако скорость поглощения кислорода зависит от последнего.

Выводы. 1. Скорость поглощения кислорода системами персульфат—диалкиламиноспирты выражается уравнением:

$$W_0 = k_{\text{sopt}} [(P)_0 (A)_0]^n$$

где n=1 при начальных концентрациях реагентов ≤ 0.02 моль л. При более концентрированных растворах относительно ДМАЭ, ДМАБ и P n<1.

2. При наличии в системе избытка амина или персульфата протекает распад промежуточно образовавшегося кислородсодержащего соединения с выделением газа, по всей вероятности кислорода.

Когда отношение $(A)_0/(P)_0$ стехнометрическое, нет обратного выделения газа.

3. Скорость поглощения кислорода в присутствии щелочи протекает без периода индукции.

Существует прямолинейная зависимость между скоростью поглощения кислорода и концентрацией взятой щелочи.

4. Эффективная энергия активации процесса поглощения кислорода равна 6,93 *ккал/моль* для ДМАЭ и 7,12 *ккал/моль* для ДМАБ.

Еренанский государственный университет

Հ. Հ. ՉԱԼԹԻԿՅԱՆ, Հայկական ՍՍՀ ԳԱ թղթակից-անդամ, Ն. Մ. ԲԵՅԼԵՐՅԱՆ, Թ. Տ. ՂՈՒԿԱՍՅԱՆ Ե Կ. Հ. ՔԱՍԱԿՅԱՆ

Թթվածնի կլանման կինետիկան պեւսուլֆատ է դիալկիլամինասպիւտ սիստեմի կողմից ջւային լուծույթում

Պերսուլֆատ է դիալկիլամինաստիրտ սիստեմի կողմից ԹԹվածնի կլանման արագությունը Նկարագրվում է հետևյալ հավասարումով,

$$W_0 = k_{14} [(P_0)/(A)_0]^n$$

 $\lim_{P \in A} (A)_0 = (P)_0 \le 0.02 \quad \text{ding/1}. \quad n = 1, \quad \text{for } \lim_{P \in A} (A)_0 = (P)_0 > 0.02 \quad \text{ding/1}. \quad n < 1 - \log n$

Այն բոլոր դնպրնրում, նրը ամինասպիրտ — պերսուլֆատ հարարերությունը չի համապա. տասիւանում ստնիւիոմետրիկ հարարնրությանը (․Լ)₀ (Ի)₀ +2, ապա նկատվում է ստացված թթվածին պարունակող միացության բայբայում դաղի անջատումով Այդ դաղը հավանարար թթվածին էւ

 $b_{PP} (A)_0/(P)_0 = 2$ gwg/ whymmad zh hhumland.

Թիվածնի կլանման արագության և հիմքի (KOH) կոնցենարացիայի միջև դոյություն ունի գծային կախում։

Ք Քվածնի կլանման ռեակդիայի ակտիվացման էֆեկտիվ էներդիան դիմեքիլ-ամինաէքիանոլի դեպքում 6,93 կկալ մոլ է, իսկ դիմեքիլամինարութանոլի դեպքում 7,12 կկալ/մոլ է։

26

ВИМИХОИЯ

А. С. Оганесян

К вопросу о регуляции проницаемости клеточной оболочки

(Представлено академиком АН Армянской ССР Г. X. Бунятяном 17/V 1967)

По современным данным переход ряда веществ (глюкоза, аминокислоты, ноны калия и натрия, фосфаты и др.) через клеточные мембраны некоторых тканей (мозговая, мышечная, почечная, эпителий тонкого кишечника и др.) осуществляется путем активного транспорта и связан с затратой эпергии. Источником энергии является аденозинтрифосфат (АТФ). Активный транспорт через клеточные мембраны связан с вовлечением в этот процесс определенного компонента клеточной оболочки в виде переносчика (саггіег), который, комбинируясь с транспортируемым веществом, переносит его из наружной поверхности оболочки на ее внутреннюю поверхность.

Исследования ряда авторов, а также наши, показали, что процесс активного транспорта ферментативный и протекает с участием мембранной аденозинтрифосфатазы (АТФ-аза). Нами было установлено, что в мозговой, мышечной и почечной тканях АТФ-аза принимает непосредственное участие в процессах транспорта глюкозы и ионов натрия и калия.

Известно, что в аэробных условиях подавляется гликолиз. Механизм этого явления до сих пор остается спорным. Одни авторы считают, что в аэробных условиях подавляется активность ряда ферментов, участвующих в различных этапах гликолиза. По данным же других авторов, некогорые продукты окислительного фосфорилирования, как аденозинтрифосфат (АТФ), подавляют активность фосфофруктокиназы, который стимулирует превращение фруктозо-6-фосфата в фруктозо-1,6-дифосфат. Этот процесс является лимитирующим звеном гликолитического превращения глюкозы.

В литературе имеются сообщения об усилении транспорта глюкозы в анаэробных условиях по сравнению с таковым в аэробных (1 5). Наши исследования показали, что трансмембранный перенос глюкозы в некоторых тканях (мозговая, мышечная и почечная) тесно связан с активностью мембранной АТФ-азы клеток. Повышение активности этого фермента (инсулином, АТФ-ом и др.) вызывает ускорение транспорта

глюкозы и усвление гликолиза, и, наоборот, подавление его активности путем окисления или блокирования его сульфгидрильных групп (строфантином, нара-хлормеркурибензойной кислотой—ПХМБ и N-этилими дом маленновой кислоты—ПЭМ) приводит к торможению поглощени глюкозы и подавлению гликолиза. Было показано также, что восстановление сульфгидрильных групп АТФ-азы восстановленным глютатионом цистенном, а также добавлением аденозинтрифосфата (АТФ) устраняет тормозящий эффект строфантина и гиоловых реагентов как в отношении транспорта глюкозы, так и в отношении гликолиза и активности АТФ-азы.

Имея в виду эти данные, мы предположили возможность регуляции гликолиза скоростью трансмембранного переноса глюкозы, что в свою очередь может регулироваться обратимым изменением активности мембранной ATФ-азы.

Для выяснения этого вопроса мы провели ряд исследований по изучению регуляции транспорта глюкозы через клеточные мембраны мозговой ткани в аэробных (O_2) и анаэробных (N_2) условиях. Опыты были проведены со срезами коры больших полушарий головного мозга, которые инкубировались в фосфатном буфере рH=7,4, в течение одного част при температуре 37°С. Глюкоза определялась по Дюмазеру, глютатион по Вудварду и Фрей $(^7)$, активность $AT\Phi$ -азы—по Бонтингу и сотр. $(^8)$ с некоторыми видоизменениями $(^9)$.

Как показывают данные, приведенные в табл. 1 и 2, тиоловые реягенты — ПХМБ и НЭМ, строфантин, окисленный глютатион и цистин подавляют поглощение глюкозы мозговой тканью и оказывают ингибирующее действие на активность АТФ-азы. Восстановленный глютатион, цистеин и АТФ снимают тормозящий эффект этих веществ, как в отношении транспорта глюкозы, так и в отношении активности АТФ-азы.

Данные табл. 3 и 4 показывают, что в анаэробных условиях, но сравнению с аэробными, поглощение глюкозы усиливается срезами мозговой ткани, а активность АТФ-азы повышается. Это особенно выражено при инкубировании срезов мозговой ткани в атмосфере чистого кислорода.

Результаты этих опытов показали важное значение восстановленного глютатиона в процессах транспорта глюкозы. В дальнейшем путем преинкубирования (в течение 30 минут) мы добились понижения содержания глютатиона в мозговой ткани¹. Затем изучали влияние добавленного глютатиона на поглощение глюкозы и активность АТФ-азы. Результаты этих опытов (табл. 5—6) показывают, что при понижении содержания глютатиона в мозговой ткани наблюдается некоторое подавление поглощения глюкозы и активности АТФ-азы. Добавление же при этом глютатиона (восстановленного) приводит к повышению активности АТФ-азы и усилению поглощения глюкозы.

¹ При инкубировании срезов мозговой ткани наблюдается значительное понижение содержания глютатиона в результате ускорения его метаболических превращений и выхода из клеток в инкубируемую среду.

Поглощение глюкозы (мг/г ткани час) мозговой тканью (срезы) в присутствии реагентов (в миллимолях) тиоловых групп

Конгроли ПХМБ ПХМБ 6 ПХМБ Гл—SH	1,25 Гл—SH +АТФ 6 ПХМБ- Цистеин	1,25 НЭМ I НЭМ+ АТФ	HЭМ+ Гл. SH 1,25 НЭМ+ Гл.—SH +ATФ	НЭ.М+ Цистеин 1,25 Цистеин 1,25 Строфан- тин	Строфан- Тин+ АТФ 6 Строфан-	AT¢ 6	La SH La S-S	Цистии
8,1 3,1 5,1 7,	5 11,9 6,	8 0,35 1,4	7,5 11,5	7,2 7,9 3,24	7,1 5	,3 12,1	8,3 5,6	6,3
$\pm 0.7 \pm 0.45 \pm 0.67 \pm 0.$	95 $\pm 0.9 \pm 0.$	$84 \pm 0.02 \pm 0.$	$2 \pm 0.4 \pm 2.1$	$\pm 0.85 \pm 0.8 \pm 0.4$	±0,1 ±0	,35 =		
(11) (11) (6) (8) (4) (5) (10) (6)	(4) (5)	(4) (5) (7)	(5)	5)		

Примечание: Гл—SH—глютатион восстановленный.

Гл—S—S-глютатион окисленный.

Цифры в скобках-количество опытов.

Таблица _
Изменение активности АТФ-азы (Р мг, г ткани/час) мозговон ткани (срезы) в присутствии тноловых реагентов и АТФ (в мидимолях)

Контроль	АТФ 6	Гл SH 1,25	La—SH +ATФ	ITXM5	IIXMB+ Fa SH	IIX.МВ - Цистеин 1.25	ПХМБ +АСФ	ПХМБ+ Гл SH АТФ	H3M 1	H3M-L I'n SH	НЭ.М. Цистенн 1,25	H3M+ AT¢	H3M In SII	Строфан-	Строфан	Строфан.
0,43	0,85	0,54	1,08	0,18	0,41	0,4	0,83	1,02	0,3	0,4	0,38	0,89	1,11	0,28	0,38	0,38
0,04				±0,01	±0,04	±0,03	±0,05	±0 ,05	±0,03	±0,02	±0,04	±0,05	0,07	±0,03	0,05	±0,05
(8)	(7)	(7)	(5)	(6)	(6)	(4)	(5)	(5)	(7)	(5)	(4)	(5)	(5)	(7)	(5)	(5)

Как показывают данные, приведенные в табл. 7, добавление АТф инкубационную среду приводит к ускорению образования молочной кис лоты мозговой тканью (усиление гликолиза), а тиоловые реагенты строфантии, наоборот, подавляют этот процесс. АТФ и глютатион сни мают тормозящий эффект тволовых реагентов и строфантина. С другой

Таблица 3 Поглощение глюкозы (мг/г ткани/час) мозговой тканью (срезы) в аэробных и анаэробных условиях в присутствии и отсутствии восстановленного глютатиона (в миллимолях)

Газоная фаза	Контроль	Гл—SH 1,25
02	7,9±0,85	8,5 <u>+</u> 0,7
N ₂	9,5±1,2	9,3±0,9

Таблица 4 Активность АТФ-азы (Ржг/г ткани/час) мозговой ткани (срезы) в аэробных и анаэробрых условиях в присутствии восстановленного глютатиона (в миллимолях)

В условиях воздуха	Аэробные условия (О₂)	Аэробные условия +Гл — SH 1,25	Анаэробные условия (N_2)	Анаэробные усло- вия+Гл — SH 1,25
0.5±0,04	0,36±0,04	0,48±0,05	0,68 ± 0,06	$0,65 \pm 0,04$
(10)	(7)	(5)	(5)	(4)

стороны, установлено, что ATФ повышает активность ATФ-азы мозговой ткани, а тиоловые реагенты и строфантин, наоборот, подавляют.

Результаты опытов показывают, что сульфгидрильные группы миозина (АТФ-аза) клеточной оболочки мозговой ткани имеют важное значение для проявления его ферментативной активности и для осуществ-

Таблица 5 Влияние глютатиона (в миллимолях) на поглощение глюкозы (мг/г гкани/час) срезами мозговой ткани

Кон	гроль	Преипкубация				
Мозговая ткань	Мозговая ткань +Гл—SH 1,25	Мозговая ткань	Мозговая ткань Гл—SII 1,25			
8,6±0,45	8,8±0,5	7,0±0,4	9,0±0,5			
(7)	(5)	(5)	(5)			

тения активного транспорта глюкозы. Блокирование сульфгидрильных групп мембранной АТФ-азы (срезы) приводит к подавлению активность АТФ-азы и транспорта глюкозы и, наоборот, восстановление этих групп (добавлением глютатиона) повышает активность АТФ-азы и усиливает гранспорт глюкозы. Наши прежние исследования (10,11) показали, что подавляющее действие тноловых реагентов на транспорт глюкозы в моз-

говую ткань связано именно с их действием на мембранную АТФ-азу. В этом отношении результаты наших исследований косвенно подтверждают данные Парка и сотр. (12) о том, что тноловые реагенты не оказывают подавляющего действия на активность фосфоглицеральдегиддегидрогеназы, активной группой которого является восстановленный глютатной. Эти данные дали нам основание предполагать, что роль глютатио на в процессах транспорта глюкозы через клегочные мембраны, по-видимому, сводится к поддержанию активности АТФ-азы клеточной оболочки. В связи с этим мы изучали изменение количества добавленного к ин

Габлица 6
Влияние восстановленного глютатнона (в миллимолях) на активиссть АТФ-азы
(□ мг/г ткани/час) мозговой ткани (срезы)

Кон	гроль	Преннкубация			
Мозговая ткань	Мозговая ткань Гл—SH 1,25	Мозговая ткань	Мозговая ткань — Гл—SH 1,25		
0,51	0,56	0,4	0,52		
(10)	(8)	(5)	(5)		

Таблица 7 Образование молочной кислоты (мг/г ткани/час) мозговой тканью (срезы коры) в присутствии АТФ, строфантина и ингибиторов тиоловых групп (в миллимолях)

Контроль	АТФ 6	Γη-S!! 1,25	IIXMB 1	La-SH	пхмБ АТФ	НЭМ	HS-r.1	НЭМ + АТФ	Строфан-	Строфан- тин + АТФ	Строфан- тин — Гл-SH
7,0	8,75	8,1	3,7	6,0	6,5	2,2	5,16	6,1	4,2	7,2	6,7
±0,5	±0,7	±0,8	±0,2	±0,5	<u>+</u> 0.4	±0,2	±0,4	± 0.6	±0,3	±1,1	±0,8
(8)	(8)	(5)	(5)	(5)	(5)	(4)	(5)	(5)	(4)	(5)	(5)

Таблица 8 Изменение содержания восстановленного (добавленного) и окисленного глютатиона в инкубируемой среде (мг⁰/₀) в присутствии мозговой ткани в аэробных и анаэробных условиях

Газовая		Н в инкубируемой	Содержание Гл—S—S в инкубируемой среде		
фаза	до инкубацин	после 60 мин. инкубации	до инкубации	после 60 мин. инкубации	
() ₂	38,4 (5)	30,7	0,3 (5)	6,26 (5)	
N,	39,5 (5)	37,5 (5)	0 (4)	0,26 (5)	

кубационной среде восстановленного глютатиона в аэробных и анаэробных условиях. Результаты исследовании показали (табл. 8), что в аэробных условиях часть добавленного глютатиона (восстановленного), окисляясь превращается в его окисленную форму (S—S), между тем как в анаэробных условиях количество восстановленного глютатиона почти не изменяется. Интересно отметить, что в аэробных условиях при инкубировании срезов мозга часть глютатиона выходит из клеток в инкубируемую среду. Однако в присутствии глюкозы и АТФ выход глютатиона из клеток подавляется, более того, в присутствии АТФ ускоряется поступленитлютатиона в мозговую ткань и ускоряется его внутриклеточное превращение.

Приведенные данные показывают, что активность мембранной АТфазы, принимающей участие в процессе транспорта глюкозы, может именяться в зависимости от изменения газовой фазы инкубируемой среды. В анаэробных условиях активность этого фермента повышается и усиливается транспорт глюкозы, а в атмосфере кислорода активность фермента сравнительно низка и транспорт глюкозы замедлен. Следует отметить, что в аэробных условиях глютатион снимает полавляющий эффект строфантина и тиоловых регагентов на активность АТФ-азы и восстанавливает нормальную картину транспорта глюкозы в мозговой ткани.

Результаты наших опытов дают нам основание полагать, что изменение транспорта глюкозы в зависимости от условий инкубируемой среды (аэробный или анаэробный) связано с состоянием SH-групп мембранной АТФ-азы. По-видимому, в аэробных условиях часть сульфгидрильных групп мембранной АТФ-азы окисляется, превращаясь при этом в дисульфидные, в результате чего активность АТФ-азы попижается, а транспорт глюкозы замедляется и, наоборот, в анаэробных условиях в ткани накапливаются вещества в восстановленном виде, которые восстанавливают S—S-группы АТФ-азы в SH, и тем самым повышают ее активность, что приводит к усилению транспорта глюкозы.

В литературе имеются указания (13) на то, что в аэробных условиях сульфгидрильные группы тканевых белков могут подвергаться окислению. В овязи с этим можно полагать, что SH-группы мембранной АТФ-азы в зависимости от изменения среды непрерывно подвергаются обратимым изменениям 2 SH = S—S, что может привести к соответствующим изменениям в структуре клеточной оболочки, следовательно и к изменению ее проницаемости. Подобные динамические обратимые изменения физико-химического состояния белков клеточной оболочки, возможно, лежат в основе регуляции ее проницаемости транспорта веществ. Не исключена возможность, что в основе изменения проницаемости клеточной оболочки, наблюдаемой под действием различных гормонов, лежат упомянутые биохимические сдвиги в пределах клеточной мембраны.

Результаты наших исследований, наряду с другими факторами, в определенной мере могут способствовать объяснению феномена подавления гликолиза дыханием (пастеровского эффекта) и усиления

этого процесса в апаэробных условиях Мы не отрицаем роли внутри клеточных систем, принимающих участие в регуляции гликолиза, одна ко опи начинают детствовать после поступления гликозы во внутры клетки. В свою очередь внутриклеточные метаболические процессы эказывают после поступления показывают важную тем не менее результаты наших исследований показывают важную роль скорости транспорта глюкозы как начального звена в регуляции гликолиза внутри клетки.

Институт биохимии Академии паук Армянской ССР

Ա. Ս. ՀՈՎՀԱՆՆԻՍՑԱՆ

թջջի թաղանթի թափանցելիության կանոնավուման հաւցի շոււջը

ֆորձերը դրվել են սպիտակ առնետների ուղեղի մեծ կիսագնդերի կեղեի կտրվածքների վրա։

Ստացված արդյունքները ցույց են տալիս, որ բջջի βաղանքի կազմության մեջ դտնվող աղենոզինարիֆոսֆասան (ԱՏՖ-ազա) աղենոզինարիֆոսֆատի (ԱՏՖ) հետ միասին կարևոր դեր է խաղում թաղանթային թափանցելիության կանոնավորման պրոցեսներում։ Այդ ֆերժեն-տի սույֆ իրրիլ խմբերը մեծ նշանակություն ունեն նրա ֆերժենտային հատկության ցուցաբերման և թաղանթով գլյուկոզայի փոխադրման դործում։ ԱՏՖ-ազայի սուլֆհիդրիլ խմբերի օքսիդացումը բերում է նրա ֆերժենտային ակտիվության իջեցմանը և գլյուկողայի կլանման նվազեց-մանը և ընդհակառակը։ Անաէրոր պայմաններում (ակրոր պայմանների համեմատությամբ) նկատվում է գլյուկողայի կլանման ուժեղացում և ԱՏՖ-աղայի ակտիվության բարձրացում։ Մյուս կողմից, գրականության տվյալների համաձայն, հյուսվածբային սպիտակուցների սուլֆհիդրիլ խմբերը ակրոր պայմաններում և փորոր և վերածվել դիսուլֆիդ խմբերի, իսկ անակորդի կաններում — վնրականդնվել, Ուղեղային հյուսվածըում վերականդնված գլյուտաթիոնը նպաստում է ԱՏՖ-աղայի ակտիվության պահպանմանը բարձր մակարդակի վրա և գլյուկոզայի կլանմանը, ակրոր պայմաններում։

Ստացված տվյալները հիմք են տալիս ենքադրելու, որ սովորական պայմաններում բջջի Թաղանքի ԹափանցելիուԹյունը կարգավորվում է ԱՏՖ-ազայի ակտիվուԹյան դինամիկ փոփոխմամբ, որն իր հերքին կապված է միջավայրի պայմանների փոփոխուԹյան հետ։

ЛИТЕРАТУРА — ЧР Ц Ч Ц Ъ П Р Ф З П Р Ъ

¹ А. С. Оганесян и А. А. Демирчян, ДАН АрмССР, 40, 285 (1965). ² А. С. Оганесян, ДАН АрмССР, 35, 217 (1962). ³ А. С. Оганесян, Известия АН АрмССР, сер. биол. наук, 15, 8, 39 (1962). ⁴ П. Д. Рандл, in: Membrane transport and metabolism, Ed. by Kleinceller A. A. a. Kotyk E. E., Pragua, 1960. ⁵ Г. Е. Морган, М. Д. Гендерсон, Д. М. Реген, и С. Р. Парк, J. Biol. Chem., 236, 253, 1961. ⁶ Г. Мак-Ильвейн, Биохимия и центральная нервная система, 1962. ⁷ Ж. Е. Вудвард и Ж. Е. Фрей, J. Biol. Chem., 97, 465, 1932. ⁸ С. Л. Бонтинг, К. А. Симон и Н. М. Гавкинс. Arch. Blochem. Вторнуз. 95, 416, 1961. ⁹ А. С. Оганесян, ДАН АрмССР, 35, 177 (1962). ¹⁰ А. С. Оганесян и А. А. Демирчян, Вопросы биохимии мозга, 3, 1967. ¹¹ А. А. Демирчян, Биол. жури. Армении, 20, (1), 68, 1967. ¹² Г. Е. Морган, Д. Р. Нили, Р. Е. Вууд, С. Либек, А. Либермейстер и С. Р. Парк, Fed. Ргоос., 24, 1040, 1965. ¹³ П. С. Жоселин, Втосhem. J., 85, 491, 1962.

XLV 1967

БИОХИМИЯ

А. Ш. Галстян и З. С. Авунджян

О ферментативной активности мелкозема под лишайниками и мхами на горных породах

(Представлено академиком АН Армянской ССР Г. С. Давтяном 3/VI 1967)

Классическими исследозаниями Б. Б. Польновя (1) было показапо, что первичные стадии почвообразования начинаются с поселения на горной породе микроорганизмов и лишайников, которые интенсивно разрушают ее механически и биохимически.

Для выявления особенностей биохимического воздействия литофильных растений на горную породу при первичной стадии почвообразования нами была изучена активность некоторых ферментов мелкозёма из-под лишайников и мхов на базальте и туфе. При проведения данной работы мы исходили также из того факта, что лишайники имеют широкий набор внутриклеточных и внеклеточных ферментов (2, 3).

Материалом для настоящего исследования послужили мелкозёмы из-под лишайников (Ramelina, Lecanora) и мхов (Grimmia) на базальте и туфе в горных районах Армении. Мелкозём под лишайниками и мхами находится в виде мелких комочков бурого цвета, здесь встречаются также обломки породы и полуразложившиеся остатки растений. При взятии образцов на породах пункты по возможности выбирались в соответствующих расположениях, исключающих привнос постороннего материала. В таком случае образование ферментов в мелкозёме в основном принадлежит лишайникам, мхам и микроорганизмам, составляющим соответствующий фон. Относительная простота биоценоза первичного почвообразования значительно облегчает эти исследования. Одновременно были отобраны цельные образцы наиболее распространенных лишайников Ramelina и мхов Grimmia, а такобразцы из пород туфа и базальта, на которых лишайники и мхи отсутствовали. Образцы растений и пород измельчались (1 мм) и поступали в анализ одновременно с очищенным мелкозёмом.

Активность ферментов в исследуемых объектах определялась ранее опубликованными методами (1, 5). Активность инвертазы и β-глюкозидазы выражались в миллиграммах глюкозы, амилазы в миллиграммах мальтозы, уреазы в миллиграммах аммиака на 1 г навески

за сутки, каталазы — O_2 в кубических сантиметрах на 1 г навески за мин., фенолоксидазы в миллиграммах пурпургалина на 100 г навески 30 мин., дегидрогеназы в миллиграммах трифенилформазана на 10 г навески за сутки. Интенсивность дыхания выражалась в миллиграммах CO_2 на 100 г навески за сутки.

Опыты показали, что образцы горных пород (базальт и туф), на которых лишайники и мхи отсутствовали, не обладают ферментативной активностью (табл. 1). В мелкоземе из-под лишайника и мха

Ферментативная активность мелкозема под лишайником Ramelina и мхом Grimmia на горных породах

Объект исследования	Инвертаза	Амилаза	3-Глюкози-	V peasa	Каталаза	фенолокси-	Дыхание
База л ьт	6	0	0	()	0	0	0
зальте	20	10	16	34	51	27	36
Лишайник на базальте	254	78	230	41	52	38	455
Мелкозём из-под мха на базальте -	20	5	11	2	17	760	21
Мох на базальте	490	198	80	97	69	1157	560
Туф · · · · · · · · · · · · · · · · · · ·	()	0	0	0	0	0	0
Мелкозем из-под лишайника на туфе	34	7	10	14	39	18	24
Лишайник на туфе	262	60	93	23	48	21	400
Мелкозем из-под мха на туфе • •	15	2	7	5	8	1189	38
Мох на туфе	508	204	87	118	68	1368	553

обнаруживается значительная активность ферментов. В мелкозёме под лишайником часто активность выше, чем под мхом. Это обусловлено наличием ризоидальной части лишайников в мелкозёме, которую очень трудно отделить от него. Причем ризоидальные части, с помощью которых лишайники прикрепляются к породам, имеют сравнительно высокую активность ферментов. Интенсивность дыхания мелкозема под лишайником и мхом, а также самих растений, очень высокая. Здесь выделение значительного количества углекислоты при дыхании одновременно обусловлено жизнедеятельностью некоторых симбиотически существующих микроорганизмов.

Мелкозём под лишайником и мхом обладает значительным действием дегидрогеназ (табл. 2). Из приведенных данных видно, что без прибавления субстратов в мелкозёме обнаруживается действие дегидрогеназ, доказывающих наличие собственных субстратов дегид-

Таблица 2 Активность дегидрогеназ мелкозема из-под лишайника и мха на туфе

Объект исследования	Без допаторов	Глюкоза	Глюкоза + НАД
Туф	3,0 14.2 2,6	0 5,4 20,0 4,5 18,4	0 8.8 34.0 7.4 41.2

рирования. При прибавлении глюкозы в качестве донатора водорода действие дегидрогеназ усиливается. Наиболее активно дегидрогеназы действуют в присутствии никотинамид-аденин-динуклеотида (НАД) что показывает ферментативный характер восстановления соли тетра-золия в мелкозёме.

Лишайники и мхи на горных породах содержат очень много активных ферментов. Здесь особо надо отметить активность феноксидаз-пероксидазы и полифенолоксидазы мхов. Мхи обильно выделяют эти ферменты в среду, поэтому в мелкозёме из-под мха на базальте и туфе их действие очень интенсивное. Фенолоксидазы осуществляют окисление фенолов в хиноидные соединения, которые являются исходными продуктами образования гумуса. Очень высокая активность внеклеточных ферментов в мелкозёме из-под лишайников и мхов указывает на интенсивность процесса разложения и синтеза органического вещества при возникновении первичных стадий почвообразования.

Выявление значительной активности внеклеточных ферментов в первичных почвах мы не склонны приписать только низшим растениям — лишайникам и мхам, так как лишайники рассматриваются как формы симбиотического существования двух организмов гриба и водоросли, кроме того, в теле лишайника обитают бактерин (6,7). Следовательно, ферментативные свойства первичных почв являются результатом тесного сожительства симбиотических организмов на горных породах. Высокая ферментативная активность мелкозёма из-под лишейника и мха на горных породах нас убеждает, что биохимические воздействия со стороны этих растений в процессе разрушения (пород происходит при участии внеклеточных ферментов. В результате деятельности литофильной растительности, которая интенсивно разрушает породы, механически и биохимически образуется суглинистая почва с нейтральной реакцией и сравнительно высоким содержанием органического вещества (табл. 3).

Таблица 3 Некоторые физико-химические данные мелкозёма на горных породах

Объект исследования	Гумус,	Мех. сос <0,001 мм	pH, H ₂ O	
Мелкозём из-под мха на базальте · · ·	8,4	8,0	25,6	6,6

Приведенные нами сопряженные анализы растений и мелкозёма показали, что лишайники и мхи весьма энергично поглощают элементы минерального питания, входящие в состав горных пород, и концентрируют их в образующемся мелкозёме (1).

Таким образом, примитивные почвы, возникающие под действием литофильной растительности на горные породы, обладают значительной ферментативной активностью. Процессы биохимического воздействия лишайников и мхов на горную породу осуществляются при участии внеклеточных ферментов, играющих существенную роль в первичной стадии почвообразования.

Институт почвоведения и агрохимии Министерства сельского хозяйства Армянской ССР

Ա. Շ. ԳԱԼՍՏՑԱՆ և Ձ. Ս. ՀԱՎՈՒՆՋՅԱՆ

լեռնային ապառների վրայի քառաքոսերի և մամուռների տակ առաջացած մանռանողի ֆեռմենտային ակտիվության մասին

Հողառաջացման առաջին աստիճանը պայմանավորված է միկրոօրգանիզմների և ցածրակարդ բույսնրի՝ քարաքոսնրի, մամուռննրի կննսաքիմիական ճանապարհով։ Այս օրդանիզմները ապարների կննսաքի<mark>միական ազդնցությունը ապար</mark>ննրի վրա, իրականանում է արտաբջջային ֆերմենտկերի մաս<mark>նակցությամբ։ Պարզվա</mark>ծ է, որ քարաքոսնրից և մամուռննրից զուրկ ապարները ֆերմենտներ չեն պարունակում։ Այդ բույսերի տակ նղած մանրահողը ունի բարձր ֆերմենտային ակտիվություն։ Ֆերմենտննրը այստնղ գոյանում են ինչպես ցածրակարդ բույսերից, այնպես էլ երանց հնտ համակնցող միկրոօրդանիզմննրից։ Հետևարար, ֆերմենտննրի մասնակցությունը հողերի առաջացմանը ի հայտ է դալիս հողակաղմող ընթացքի հենց սկղընական աստիճանից։

ЛИТЕРАТУРА — ЧРИЧИВОПЬЕЗПЬВ

¹ Б. Б. Полынов, "Почвоведение", № 7, 1945. ² В. Ф. Купревич и Е. Н. Моисеева, ДАН СССР, т. 115, № 6 (1957). ³ Е. Н. Моисеева, "Ботанический журнал", т. 43, № 1, 1958. ⁴ А. Ш. Галстян, "Почвоведение", № 2, 1965. ⁵ А. Ш. Галстян, ДАН СССР, т. 127, № 5, 1959. ⁶ Н. А. Красильников "Микробиология", т. 18, в. 3, 1949. ⁷ А. К. Паносян, В. Г. Никогосян, "Биологический журнал Армении", т. 19, № 8, 1966.

XLV 1967

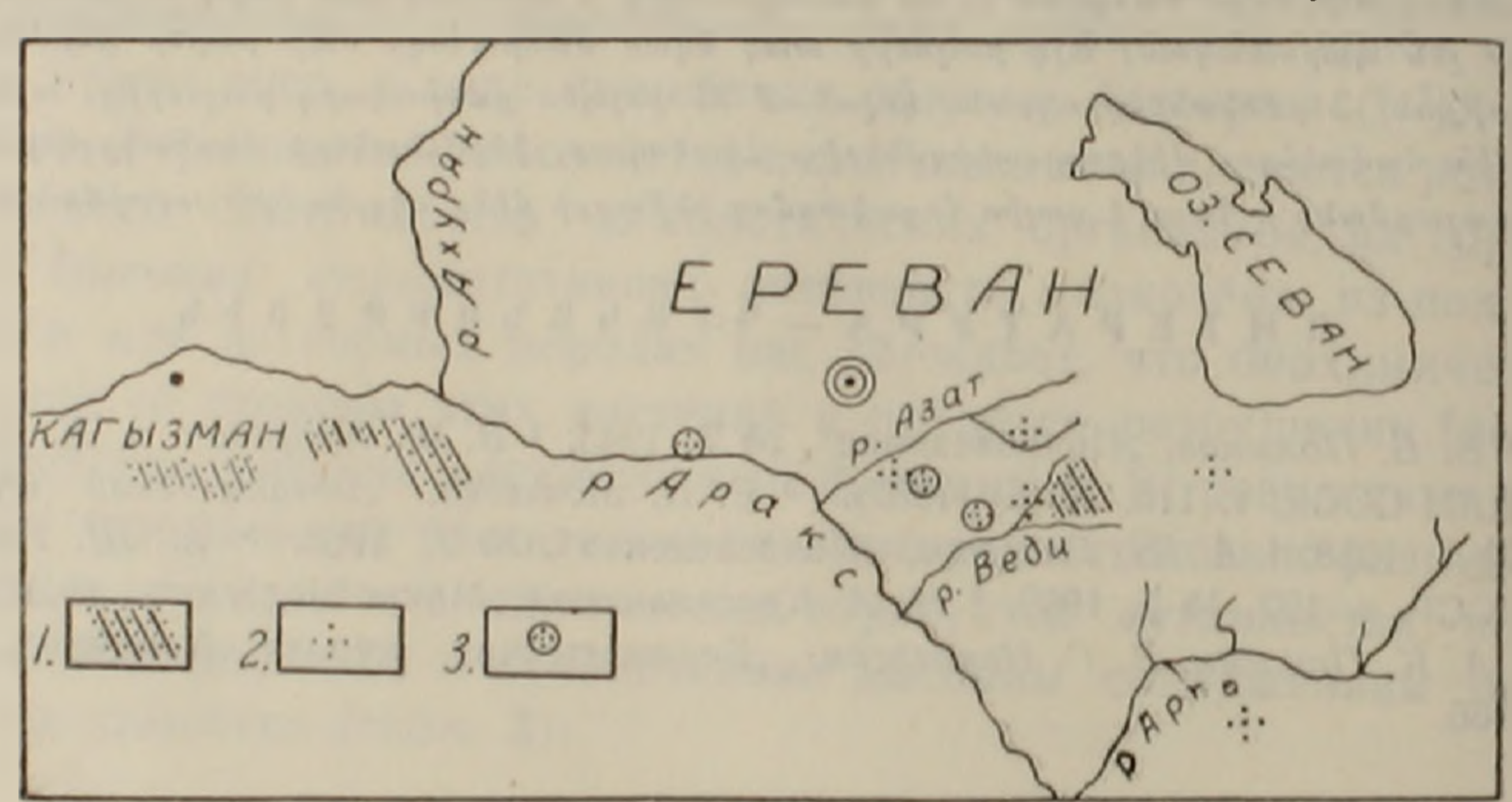
ГЕОЛОГИЯ

М. А. Сатиан, Ж. О. Степанян и Л. С. Чолахян

О Вединском офиолитовом поясе

(Представлено академиком АН Армянской ССР С. С. Мкртчяном 8/VI 1967)

Новые погребенные поля распространения офиолитов обнаружены параметрическим и разведочным бурением западнее верховья бассейна р. Веди (фиг. 1), [в междуречье Веди и Азат (скв. № 1-Карабахлар и № 1— Чатма), а также в долине р. Аракс, в 30 км юго западнее г. Еревана, у сел. Маркара (скв. № 5— Маркара).



Фиг. 1. Схема распространения пород Вединского офиолитового пояса. I — обнажения офиолитов (спилиты, яшмы, диабазы, интрузивы габбро, участками гипербазиты); 2 — обломки спилитов, яшм, диабазов, габбро в отложениях верхнего мела; 3 — участки офиолитов, вскрытые скважинами.

О принадлежности вскрытой вулканогенно-осадочной толщи гофиолитам свидетельствует ассоциация пород: спилиты, спилитовые порфириты, диабазы, яшмы, вмещающие пластовые залежи габброндов, участками мелкие интрузивы серпентинизированных гипербазитов. В строении толщи принимают участие также вариолиты, миндалекаменные порфириты и пирокласты андезито-базальтового состава, изредка альбитофиры, вулканомиктовые и граувакковые песчаники, конгломераты, известняки. Суммарная мощность толщи, по данным бурения, колеблется от 660 м (скв. № 1— Карабахлар) до более чен 1260 м (неполная мощность в скв. № 1— Чатма).

Параллелизация вскрытой скважинами вулканогенно-осадочной толщи с хосровской (1) вулканогенно-осадочной толщей (верхний турон?—нижний коньяк), входящей в состав вединских офиолитов, приводится, исходя из следующих данных:

- 1) сходного стратиграфического положения: залегания на вулканогенно-осадочной толще отложений сантона—верхнего сенона (скв. № 1— Карабахлар, микрофаунистическое определение Ю. А. Мартиросян), дания (?)—нижнего палеоцена (скв. № 1— Чатма);
- 2) единого их структурного положения: в пределах верхнемеловой Еревано-Ордубадской интрагеосинклинальной зоны Малого Кавказа (2);
 - 3) петрографического сходства (спилиты, диабазы, яшмы);
- 4) наличия мелких интрузивов серпентинизированных ультраосновных пород и пластовых залежей габбро.

Ультраосновные породы прорывают вмещающую вулканогенноосадочную толщу. По материалам бурения нигде, однако, не зафикспрован прорыв ими отложений моложе коньякских.

У сел. Маркара (скв. № 5) на вулканогенно-осадочной толще залегают пестроцветные терригенные отложения, по литологическому составу и по наличню рабдаммин (данные И. Г. Гаспарян, Н. А. Саа-кян-Гёзалян) сходные с пестроцветной толщей верхнего олигоцена—нижнего миоцена (3) Приереванского района.

Ряд участков зоны мощных офиолитов (сс. Двин— Чатма, бассейн р. Кёсуз) характеризуется сокращенными мощностями перекрывающих офиолиты отложений сантона—верхнего сенона. Вместе с тем, обломки вулканогенно-осадочной толщи и обломочные минералы за счет их разрушения обнаружены в отложениях верхнего коньяка, сантона—верхнего сенона и дания—палеоцена.

Эти данные позволяют полагать, что в позднеконьякское время в зоне глубинного разлома имело место воздымание отдельных блоков офиолитового пояса. Некоторые из новообразованных поднятий, как, например, Маркаринское, существовали до раннего олигоцена включительно.

Не далее, чем в 40 км западнее сел. Маркара, по правобережью р. Аракс обнажаются восточные выходы (линия Эрзерум—Кагызман) одного из офиолитовых поясов Армянского нагорья. На подступах к Араратской долине офиолиты погребены молласовыми и лагуиными отложениями палеогена и неогена, четвертичными наземными туфами и лавами (3, 4). Соотношение этого пояса с вединскими офиолитами до проведения буровых работ оставалось неясным (5, 6). Новые данные позволяют полагать, что Вединский офиолитовый пояс продолжается на запад и смыкается вдоль долины р. Аракс с офиолитами района гор. Кагызман.

Институт геологических наук Академии наук Армянской ССР

Վեղու օֆիոլիտային գոտու մասին

Պարամետրիկ և հետախուղական հորատանցքերով հայտնարերվել են Վեդու օֆիոլիտային գոտու օֆիոլիտների տարաձման նոր դաշտեր՝ Վեդի և Աղատ դետերի միջև, ինչպես նաև Արաքս գետի հովտում՝ Մարքարա գյուղի մոտ։ Հետևարար, Վեղու օֆիոլիս.ային դոտին կարելի է դի տել որպես Էրզրում — Կաղզվանի օֆիոլիտային ճյուղի շարունակությունը Փոքր Կովկասում։

JI WIEPATYPA - SPULLUND OF BOND

¹ В. Л. Егоян, Верхнемеловые отложения юго-западной части Армянской ССР, Изд. АН АрмССР, Ереван, 1956. ² В. П. Ренгартен, Региональная стратиграфия СССР, т. 6, Изд. АН СССР, М., 1959. ³ А. А. Габриелян, Палеоген и неоген Армянской ССР, Изд. АН АрмССР, Ереван, 1964. ⁴ Ч. Ъ. Чиффвббпрд, Հայաստանի և Фпер Чифшир бриб фру Запара, при при фру Данара, при при фру Данара, Вопросы геологии и гидрогеологии Армянской ССР, Изд. АН АрмССР, Ереван, 1956. ⁶ В. Г. Казълин, "Геотектоника", № 3, 1966.

XLV 1967

2

СИСТЕМАТИКА РАСТЕНИЙ

Я. И. Мулкиджанян

Новые разновидности из флоры Армении

(Представлено чл.-корр. АН Армянской ССР В. О. Казаряном 26/IV 1967)

В настоящей заметке приводится описание двух новых для науки разновидностей, одна из которых Camphorosma lessingii Litv. var. pulviniformis Mulk., а другая Juniperus polycarpos C. Koch var. pendula Mulk. Область произрастания обоих разновидностей— южные отроги Гегамских гор.

1. Camphorosma lessingii Litv. var. pulviniformis Mulk. Камфоросма Лессинга, форма подушковидная.— Растение образует небольшие, до 30 см в диаметре, невысокие, густые подушки, с внутренним объемом подушки заполненным мелкоземом. На поверхности подушки выступают лишь верхушки многочисленных веточек, несущих пучок игловидных, собранных в комок листьев. Поверхность подушки плотная, почти гладко-полукруглая, более или менее сплюснутая. Местами в периферической части отходят плодущие побеги, 20—40 см длины. Как листья, так и побеги, цветки и плоды от обычной С. lessingii Litv. (1,3) не отличаются (фиг. 1).



фиг. 1. Camphorosma lessingii Litv. var. pulviniformis Mulk. A — общий вид; 1 — облиственные побеги на поверхности полушки (увеличено).

Голотип и изотипы. Армянская ССР, Вединский район, южный отрог Гегамского хребта, между ст. Араздаян и сел. Советашен, выше сел. Кярки, 1200—1400 м над ур. м. май, 1965 г., собрал Я. И. Мулкиджанян. Голотип хранится в гербарии Ботанического института АН Армянской ССР, Ереван, Аван (ERE).

1. Camphorosma lessingii Litv. var. pulviniformis Mulk.—Sufruti. culus haud altus, dense subhemisphaerico—pulvinatus, a peripheria rami

haud numerosi floriferi ad 40 cm lg. abeuntes.

A C. lessingii ceteris characteribus haud diversa.

Holotypus et isotypi. Armenia distr. Vedi. Inter pp. Arazdajan el Sovetaschen alt. 1400 m s. m., leg. J. I. Mulkijanian. In Herb. Inst. Bot Ac. Sc. USR Armeniae conservatur (ERE).

С. lessingil в Армянской ССР относится к числу довольно обычных растений. Встречается на высоте от 700-2000 м над ур. м., на слабо засоленных землях, песках, щебнистых склонах. Группировкис доминированием C. lessingii здесь обычно приурочены к умеренно засоленным землям Араратской долины от Эчмиадзина, Куру-Араза и до сел. Маркара. Вместе с ней здесь растут Suaeda altissima (L.) Pall., Frankenia hirsuta L., Atriplex aucheri Moq. и др. Описываемая выше подушковидная форма C. lessingii выявлена нами лишь в одном пункте Армянской ССР, в нижней полосе горной степи. Место произрастание представляет седловину, сильно ветробойную. Из других растений поблизости встречаются подушечные виды Acantholimon, виды Thymus, Stachys inflata и S. schtschegleevii. Выше на небольшом удалении, на высоте 1500-1700 м над ур. м. подушечны формы вообще представлены широко. Так, например: Onobrychis cor nuta и Gypsophylla aretioides образуют подушки размером до 1-2 и Значительных размеров достигают также подушки Astragalus laguns. A. pycnophyllus виды рода Acantholimon. Все они образуют особы тип растительности, присущий Передней и Центральной Азии и некоторым другим пунктам земного шара, объединяемый в группу тач называемых подушечников (4). Аналогичный пример образования подушковидной формы у Potentilla pamiroalaica Juz. на Восточном Памире приводит К. В. Станюкович (5).

2. Juniperus polycarpos var. pendula Mulk. Можжевельник многоплодный плакучий.— Невысокое дерево, с плакучими концами ветвей четвертого и выше порядков ветвления. Образует густую крону Высокодекоративен.

Голотип. Армянская ССР, Вединский район, ущелье р. Хосров можжевеловое редколесье, 1959 г. Собрал и определил Я. И. Мулкиджанян. Голотип хранится в гербарии Ботанического института АН Армянской ССР, Ереван, Аван (ERE).

2. Juniperus polycarpos C. Koch var. pendula Mulk.— Ab J. polycarpos forma typica distributione geographica ampla ramis comae apice arcuato-pendulis differt.

Occurit singulariter aream geographicam distinctam non formans.

Holotypus. Armenia, distr. Vedi, in faucibus fl. Chosrov, in Juniperetum, alt. 1400—1700 m s. m., leg. J. I. Mulkijanian. In Herb. Inst. Bot. Ac. Sc. USR Armeniae conservatur (ERE).

Встречается вместе с основной формой, изредка, как в Хосровском урочище, так и на хребте Еранос, на высоте 1600—1800 м надур. м.

Перспективен для использования в зеленом строительстве.

Ботанический институт Академии наук Армянской ССР

Հ. Ի. ՄՈՒԼՔԻՋԱՆՑԱՆ

Նու տարատեսակնեւ Հայաստանի ֆլուայից

Հոդվածում նկարադրված են դիտության համար նոր նրկու տարատնսակներ — Camphorosma lessingit Litw. var. pulviniformis Mulk., Juniperus polycarpos C. Koch var. pendula Mulk., որոնք հավաքված են հեղինակի կողմից Հայկական ՍՍՀ-ի տերիտորիայում կատարված էքսպեղիցիաների ընքացքում։ Հիշված տարատեսակներից Camphorosma lessingit Litw. var., pulviniformis Mulk. տարբերվում է հիմնական տեսակից նրանով, որ առաջացնում է դնդաձև բարձիկ, մինչև 30 սմ տրամադծով։ Այս տարատեսակը, քելուկազդիների ընտանիքի առաջին բարձիկավոր ներկայացուցիչն է Կովկասում։ Մյուս տարատեսակը — Juniperus polycarpos C. Koch var. paniculata Mulk. տարբերվում է հիմնական տեսակից նյուղերի ծայրերի խոնարնված դիրքով։ Նկարադրված երկու տարատեսակ-նին էլ անում են Գեղամա լեռնաշղքայի ճյուղավորություններում։

ЛИТЕРАТУРА — ЧГКЧКЪП Р В ОГЪ

¹ А. А. Гроссгейм, Определитель растений Кавказа, Изл. "Сов. Наука", М., 1949-М. М. Ильин, Флора СССР, 6, Л., 1936. ³ Флора Армении, под ред. А. Л. Тахпджина, т. 1—2. Ереван, 1954, 1956. ⁴ Я. И. Мулкиджанян, Тр. Ботан. инстит. АН АрмССР, 16, 1967. ⁵ К. В. Станюкович, "Природа", 12, стр. 57, 1948.

ЭНТОМОЛОГИЯ

С. М. Яблоков-Хизорян

Два новых вида долгоносиков из Армянской ССР

(Coleoptera, Curculionidae)

(Представлено академиком АН Армянской ССР В. О. Гулканяном 20/11 1967)

1. Apion rhopalorrhynchum lablokoff—Khnzorian sp. nov. АрмССР: Джрвежское ущелье (окр. Еревана), около родников, 25/1952, тил (самка) и 4 паратипа (2 самца и две самки).

Тело и конечности черные, надкрылья со слабым свинцовым отливом, волосистость белая. Длина (без хоботка) 2,8—2,9 мм, фиг. 1

Глаза большие, выпуклые, при осмотре сверху кажутся в 2 раза длиннее ширины, при осмотре сбоку — округлые. Они окружены волосками, но без каймы ресничек. Лоб плоский, с 4 глубокими продольными вдавлениями, отграничивающими узкий и короткий киль и 2 более широкие боковые полосы, которые сливаются у вершины перед основанием хоботка. Волоски на лбу редкие, довольно толстые. Темя груботочечное на шагренированном фоне. Виски вздутые, кзади заметно расширенные. Хоботок у основания сильно лопастевидно расширен и утолщен, расширение прикрывает сбоку основание усиков. его вершинный край с боков оканчивается остроконечным зубчиком. острием, направленным вперед. Между зубчиками этот край вогнут плоской дугой и проходит слегка выше уровня хоботковой трубки, его диск густоточечный на морщинисто шагренированном фоне, с короткой продольной бороздкой и единичными волосками. Впереди от этой лопасти хоботок имеет вид узкой изогнутой трубки равной ширины (при осмотре сверху). Эта трубка голая, мелкоточечная на шагренированном фоне, у вершины ее скульптура сглажена. Она описывает приблизительно четверть круга (смотреть сбоку).

Усики длиннее хоботка на длину булавы, которая в два раза короче жгутика.

Переднеспинка почти цилиндрическая, едва сужена кпереди. У вершины со слабой перетяжкой, за которой вершинный край взлуг валиком.

Ее диск покрыт негустыми волосками и небольшими удлинен ными точками, расстояние между точками значительно больше ну самих. У основания небольшая ямка. Щиток маленький, полукруглый.

Надкрылья слабо обратнояйцевидные, их бороздки голые, в два раза уже плоских промежутков, с мелкими, но явственными точками, промежутки поперечноморщинистые, с одним рядом точек и прилегающих волосков, каждый волосок своим концом заходит за основание следующего. В общем, волосистость рассеянная. Первая бороздка доходит до щитка, прочие достигают основания надкрылий. Низ покрыт негустыми светлыми волосками, на ногах волоски гуще и толще. все голени прямые.

У самца хоботок едва короче и уже, чем у самки, его скульптура у вершины сглажена на меньшем протяжении. 1-й членик задних лапок с вершинным зубцом, отогнутым к телу.

Этот вид относится к подроду *Ceratapion* Schilsky, легко отличается от всех прочих видов рода своеобразным вздутием у основания хоботка, с двумя зубчиками, направленными вперед.

2. Miarus armenus Iablokoff-Khnzorian sp. nov. АрмССР: Хосровский заповедник, в ущелье около станции, к вечеру, на Campanula sp., тип и аллотип (самец и самка), 25/VI 1964; Гехард, у монастыря, 6 паратипов, 19/VI 1949.

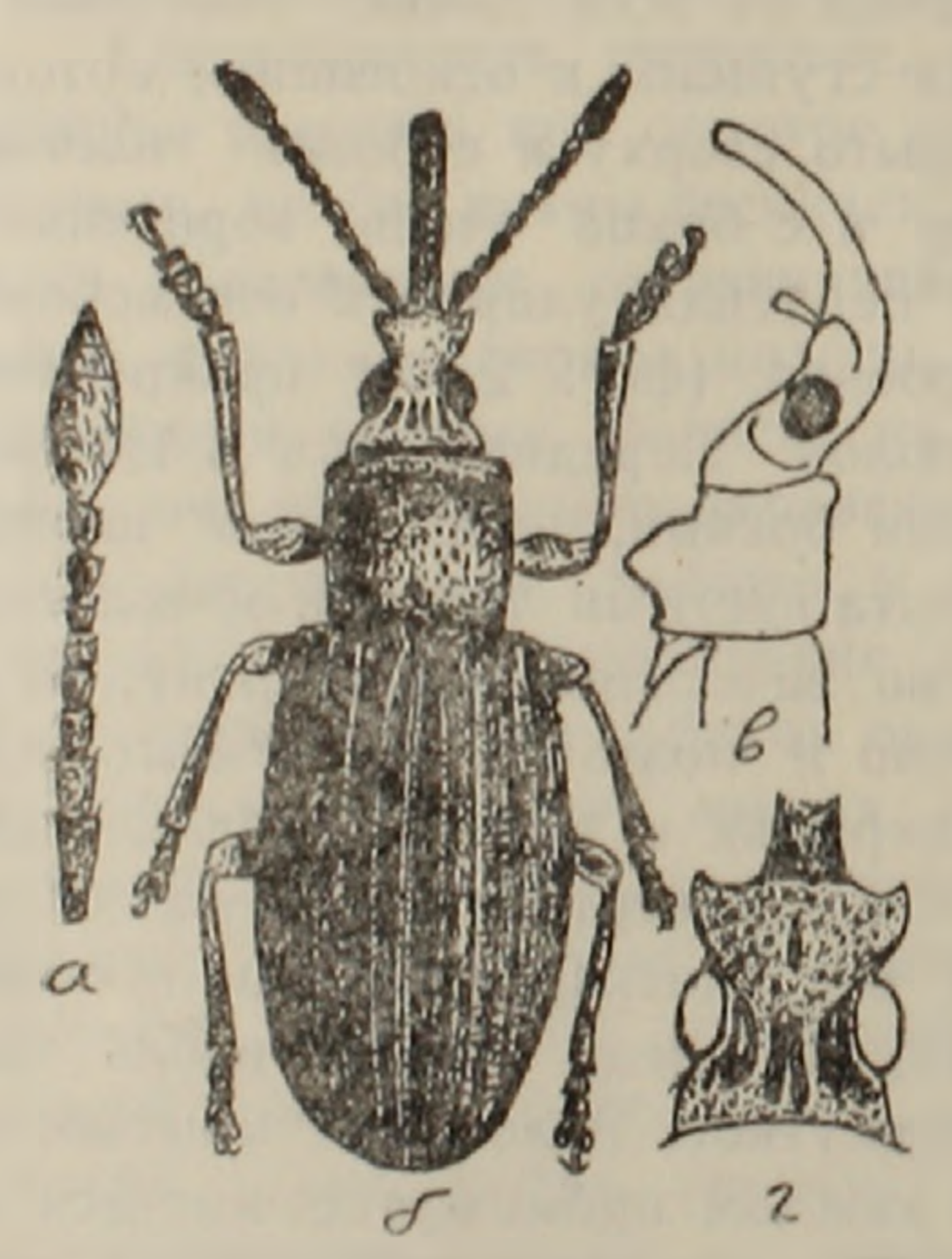
Тело и конечности черные, волосистость белая. Длина (без хоботка) 2,5-3,1 мм. Фиг. 2. Хоботок (фиг. $2, \sigma$) при осмотре сбоку кажется почти прямым, равной толщины по всей длине, точечный и шагренированный до вершины, точки сгущены к основанию, которое до места прикрепления усиков покрыто сверху и с боков толстыми полуторчащими волосками, а снизу и с боков очень короткими и тонкими щетинками, направленными перпендикулярно к оси хоботка. Усики обычного для этого рода строения (фиг. 2, б), прикреплены у основной трети хоботка у обоих полов. Переднеспинка в 1,6 раза шире длины, с широко закругленными боками, наибольшей ширины немного впереди от основания, покрыта густыми точками и толстыми полуприлегающими волосками, обычно зачесанными в сторону но по середине диска довольно беспорядочно и поэтому без четкого пробора. Щиток узкий, волосистый. Надкрылья с почти параллельными боками, кзади коротко закругленные, на четверть длиннее их общей ширины (длина измерена вдоль шва без щитка), покрыты густыми, толстыми, косо торчащими волосками, без следа гребия вдоль шва. Бороздки голые, слегка уже их промежутков. Волосистость несколько изменчивая: у некоторых особей на каждом промежутке имеется по три ряда волосков спереди, а сзади — по два, у других — лишь два ряда по всей длине, или кзади имеется лишь один ряд, или некоторые промежутки по всей длине лишь с одним рядом волосков. Переднегрудь покрыта с боков толстыми волосками, которые у ее середины заменяются округлыми чешуйками, такие же чешуйки имеются на среднегруди, на эпистернах которой чешуйки сгущены в белое пятно и много крупнее. Заднегрудь, брюшко и ноги покрыты волосками, обычно такого же типа, как на надкрыльях, но, местами, и более

тонкими, в целом одеяние верха и низа сходное и равномерное, кажется одноцветным. Передние голени слегка двувыемчатые.

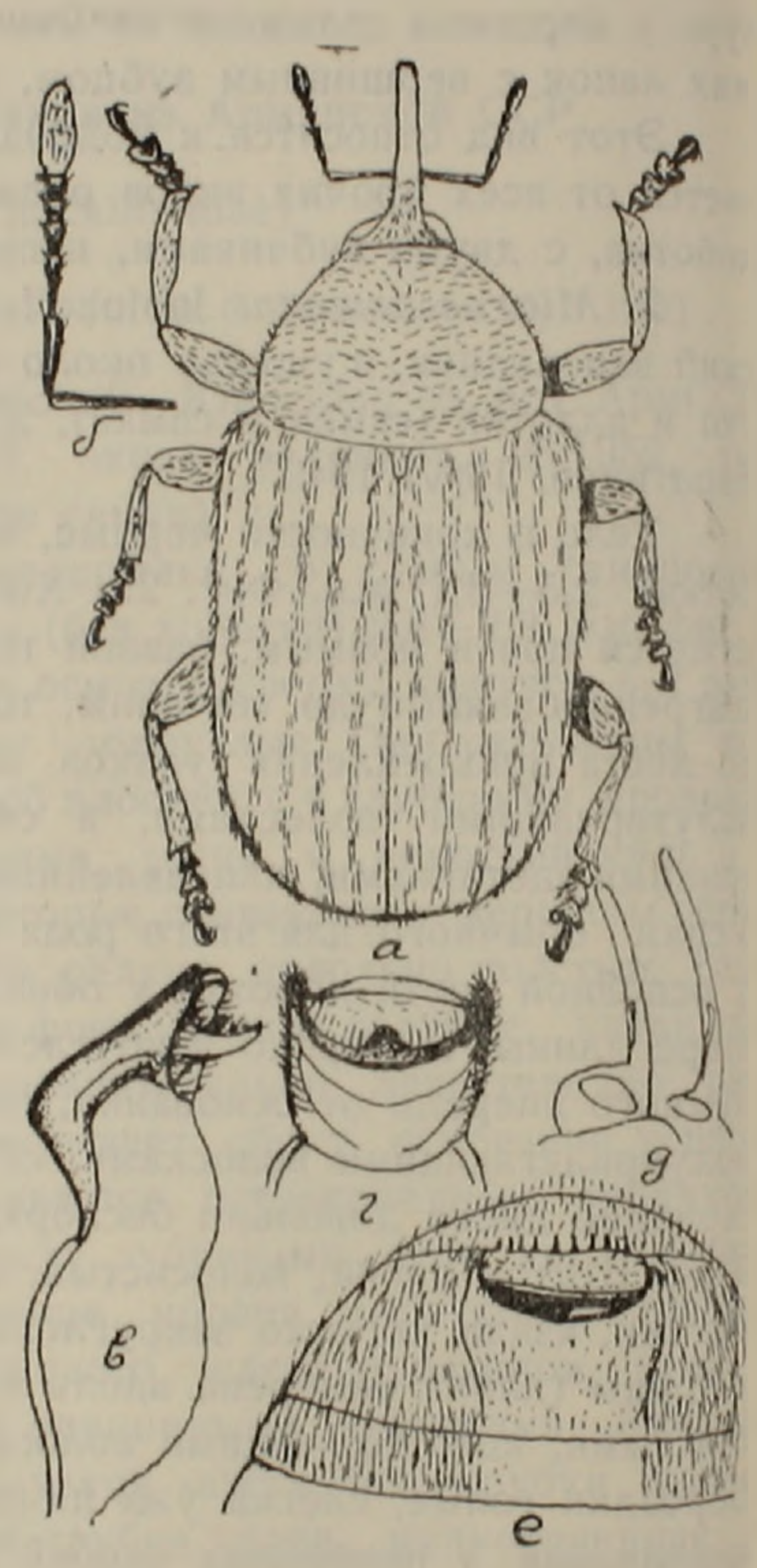
У самца хоботок почти прямолинейный, слегка короче переднесинки. Брюшко с большим вдавлением на 5-м видимом стерните слабо продолженным до основания брюшка, это вдавление окаймлено спереди несколькими черными щетинками, а с боков 2 треугольными зубцами, между которыми покровы гладкие; задняя часть вдавления нежно волосистая (фиг. 2, е). Пенис (фиг. 2, в и г) с очень тонкими боковыми ушками.

У самки хоботок на треть длиниее, чем у самца (фиг. 2∂), длиниее переднеспинки.

Этот вид принадлежит к подроду Miarus s. str., он отличается от прочих видов подрода толстой полуторчащей белой волосистостью на надкрыльях. У M. ursinus subseriatus Solari волосистость также светлая и более или менее приподнятая, но тело очень короткое, над-



Фиг. 1. Apion rhopatorrhynchum Khnz. sp. nov. a – левый усик сверху × 40; б — вид сверху × 20; в — передняя часть тела сбоку × 20; г — голова и основание хоботка сверху × 40.



Фиг. 2. Mlarus armenus Khnz. sp. поч а — вид сверху × 20; б — левый усик сверху × 40; в — пенис сбоку, × 70; г вершина пениса с вентральной стороны × 70; д — голова сбоку, слева у самца справа у самки × 20; е — вершинные стерниты брюшка самца × 40.

крылья едва длиннее общей ширины, пенис иной. Несколько приподнята волосистость надкрылий у *M. rotundicollis* Desbr, у этого вида дистальная часть хоботка блестящая, с очень рассеянными точками и пенис иной (с округлыми "ушками", не выступающими над вершиной пениса). Этими же признаками отличается и *M. dentiventris* Reitt., у которого волосистость приподнята еще меньше, темная и рассеянная, эпистерны средне- и заднегруди покрыты густыми чешуйками, скрывающими покровы и образующими белую полосу под темными надкрыльями; хоботок много длиннее и неравной толщины.

Типы обоих видов хранятся в коллекциях Зоологического ин-

ститута.

Зоологический институт Академии наук Армянской ССР

Ս. Մ. ՅԱԲԼՈԿՈՎ-ԽՆՉՈՐՅԱՆ

brկու նու տեսակ եւկաւակննիր Հայկական ՍՍՀ-ից (Coleoptera, Curculionidae)

1. Apion rhopalorrhynchum Khnz. sp. nov. յուրաճատուկ տեսակ է, դանված է հրևանի շրջակայթում Ջրվեժի ձորում։ Պատկանում է Ceratapion Schilsky ենքնասեռին։ Ենկասեռին և հարում անակներից տարրերվում է հիմթը խիստ ուռած կնձիքով, որը վերջանում է առաջ ուղղված 2 ատամիկով։

2. Miarus armenus Khnz. sp. nov. Miarus սեսի Նար տեսակը դարդանում է դանդակավորների վրա։ Գտնված է Խոսրովի արդելոցում Գեղարդի տաճարի մոտ։ Ազդակից տեսակներից տարրերվում է մարմինը վերեից ծածկված խիստ կիսացցված մադերով։

ФИЗИОЛОГИЯ

А. В. Пипинов, Г. С. Ордуян и Д. С. Саркисян

К статистическому анализу межимпульсных интервалов нейрональной активности мозга

(Представлено академиком АН Армянской ССР С. К. Карапетяном 28/IV 1967)

При исследовании импульсной активности нервных клеток с помощью микроэлектродной техники возникает задача обработки боль шого количества информации. В связи с этим особое значение приобретает автоматизация статистического анализа активности отдельных нейронов.

С этой целью некоторые авторы $(^{1-3})$ использовали специализированные вычислительные устройства, которые были рассчитаны на решение сравнительно узкого круга задач.

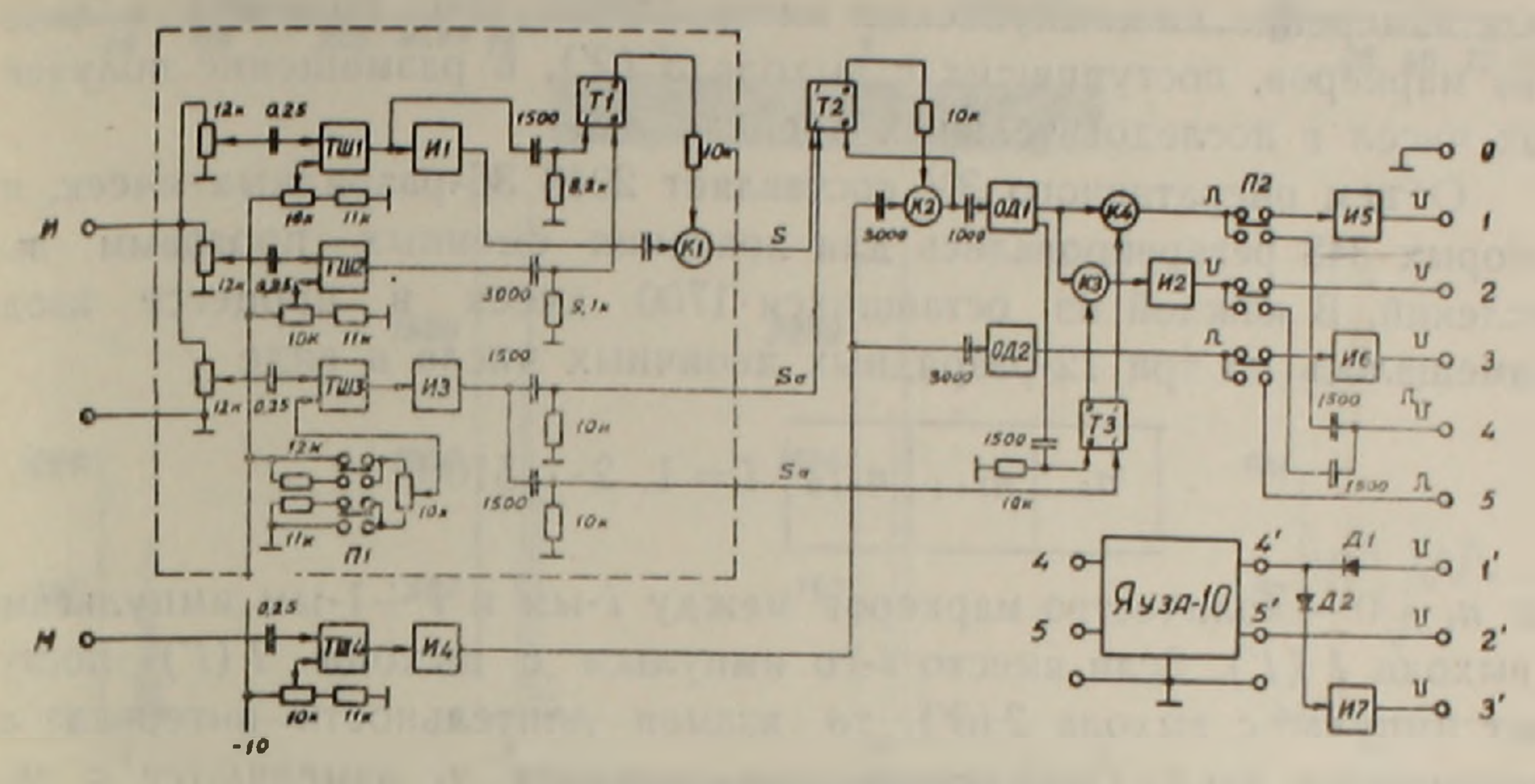
Для более широкого анализа электрофизиологической информации имеет смысл использовать универсальные электронные вычислительные машины (ЭВМ). Их применению препятствует необходимость использования специальной методики для ввода электрофизиологической информации (4, 5), а также недостаточность объема оперативного запоминающего устройства (ЗУ) малых вычислительных машии. Эти затрудиения вполне компенсируются возможностью непрерывного совершенствования и изменения алгоритмов обработки информации путем простой замены программ.

Ниже предлагается методика ввода при помощи достаточно простого устройства. При этом каждая ячейка ЗУ используется для хранения трех исследуемых чисел. Устройство состоит из двух частей (фиг. 1).

1. Схема селекции амплитуд (отмечена на фиг. 1 пунктирной линией) выделяет импульсы заданной амплитуды из подаваемой на вхол U последовательности импульсов. Исходная последовательность поступает на триггеры Шмитта ТШ1 и ТШ2, с регулируемыми порогами U_1 и U_2 , причем $U_2 > U_1 > 0$. Клапан K1 выдает "селекторный сигнал S только в том случае, если амплитуда U анализируемого импульса удовлетворяет условию $U_1 < U < U_2$.

Схема кекритична к крутизне фронтов и длительности анализируемых импульсов. При исследовании вызванной активности нейронов артефакты стимулирующих импульсов должны отличаться от импульта

сов активности значительно большей амплитудой или обратной полярностью. Для выделения артефактов применена цепочка элементов ТШЗ—ИЗ—ТЗ—КЗ, причем в зависимости от полярности артефакта переключатель П1 устанавливается в то или иное положение. Признаком артефакта служит селекторный сигнал Sa.



фиг. 1. Электрическая схема устройства ввода. Приведенный вариант собран на полупроводниковых триодах и предназначен для ввода импульсов положительной полярности.

II. Схема синхронизации и формирования служит для формирования (при наличии одного из селекторных сигналов) импульса фиксированной длительности синхронно с подаваемыми на вход M отметками времени — "маркерами".

Маркерные импульсы формируюся ТШ4 и одновибратором ОД2. В случае появления S или Sa с приходом очередного маркера запускается ОД1. Импульс с последнего, благодаря триггеру Т3, проходит на выход I или 2, что свидетельствует о наличии соответственно импульса активности или артефакта.

Сформированные синхронно с маркерами импульсы на выходе I, 2, 4 запаздывают относительно соответствующих импульсов на входе M на величину 1/f, где f — частота следования маркеров. Таким образом, абсолютная величина ошибки представления интервалов, вносимая при синхронизации, не превышает 1/f.

Устройство имеет группы выходов 1, 2, 3 и 4, 5, переключение которых осуществляет П2. Сигналы с выходов 1, 2, 3 используются для непосредственного ввода информации в ЭВМ, а с выходов 4 и 5— для регистрации на магнитную ленту с помощью двухканального магнитофона. Во втором случае ввод в ЭВМ производится при воспроизведении магнитной записи. Для приведения импульсов на выходах магнитофона 4' и 5' к виду, аналогичному сигналам с выходов 1, 2, 3, используется схема, состоящая из диодов Д1 и Д2 и инвертора 147.

Статистическая обработка электрофизиологической информации производилась с помощью серийной ЭВМ "Раздан-2". Для ввода в

3У информации использовались элементы фотосчитывающего устройства (ФСУ) вычислительной машины, предназначенного для ввода информации с перфоленты. На входы усилителей считывания ФСУ подавались импульсы с выходов 1, 2, 3 (или 1', 2', 3'). По мере поступления импульсов с выхода I (I'), 9BM по специальной программе производила измерение межимпульсных интервалов путем подсчета количества маркеров, поступивших с выхода 3 (2'), и размещение полученных чисел в последовательных ячейках 3У.

Объем оперативного ЗУ составляет 2048 36-разрядных ячеек, из которых 348 резервировались для хранения сменных программ вычислений. В каждой из оставшихся 1700 ячеек в процессе ввода размещалось по три 12-разрядных двоичных числа в виде

$$n_i \mid n_{i+1} \mid n_{i+2} \mid i = 1, 2 \cdots 5100,$$

где $n_i = 0$ — количество маркеров между i-ым и i+1-ым импульсами с выхода I (I'). Если вместо i-го импульса с выхода I (I') поступает импульс с выхода 2 (3'), то взамен длительности интервала n_i записывается число 0. Последующие значения n_i измеряются с момента поступления последнего.

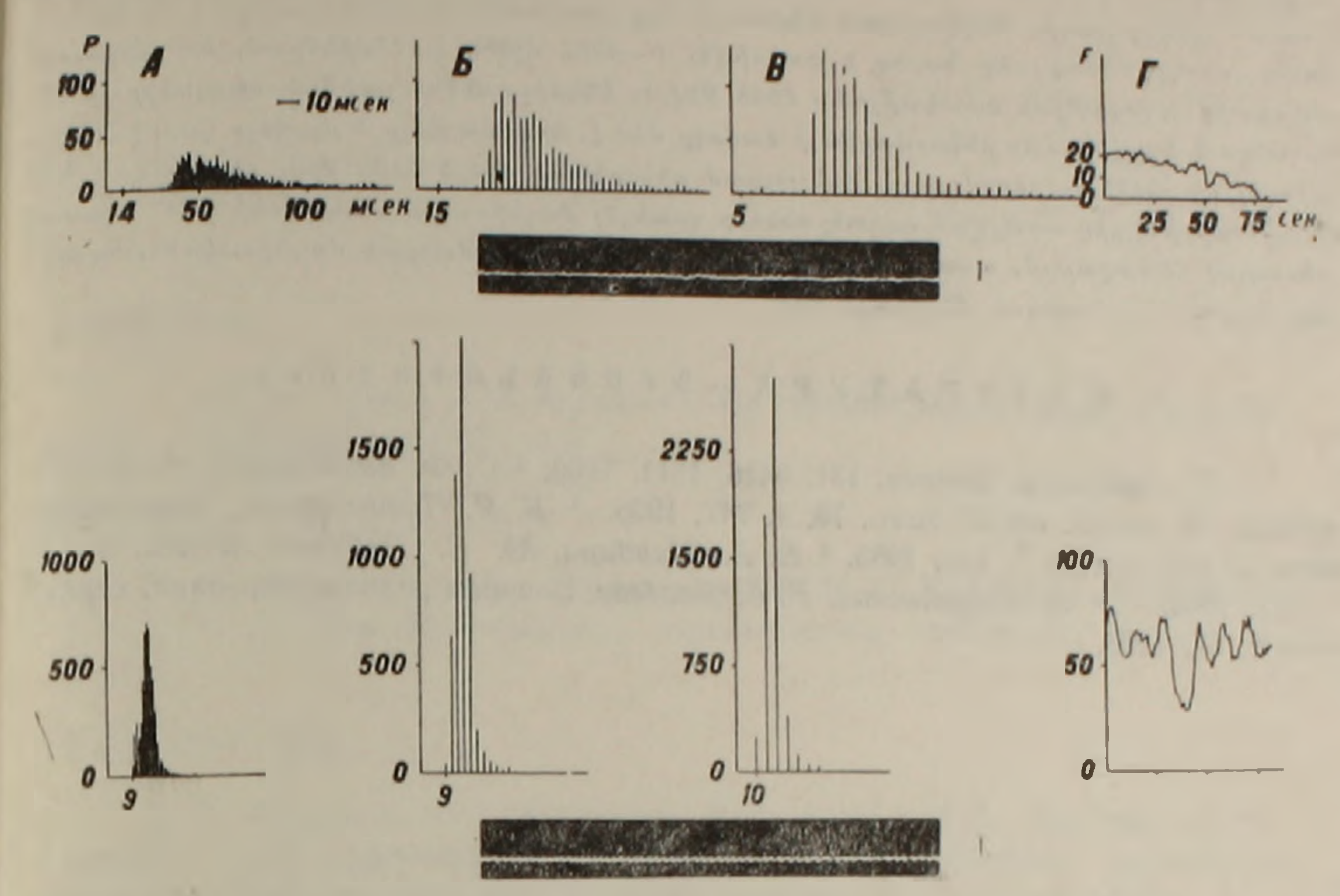
Принятая система размещения позволяет ввести в ЭВМ одновременно до 5100 численных значений интервалов. При большом объеме информации ввод и обработка могут производиться последовательно для отдельных "наборов", каждый из которых содержит не более 5100 чисел.

Для проверки методики ввода на двухканальном магнитофонетипа "Яуза-10" при помощи описанного устройства была подготовлена тестовая лента. При частоте следования маркеров f=1000 гц* допустимые пределы изменения составляли 1 мсек — 4 сек, а абсолютная погрешность измерения не превышала 1 мсек. Информация с тестовой ленты многократно вводилась в ЭВМ, и каждый раз печаталось содержимое заполняемых ячеек ЗУ. Аналогичные проверки проводились с использованием магнитной записи фоновой активности клеток. В последнем случае дополнительно вычислялись следующие статистические характеристики:

- 1) "частотная функция $F(\Delta t \cdot k)$ ($k = 1, 2 \cdot \cdot \cdot$), значения которой равны количеству импульсов активности, поступивших в последовательные равные промежутки времени Δt (фиг. 2, Γ);
- 2) минимальное, максимальное и среднее значение интервалов и дисперсия σ^2 ;
- 3) гистограммы распределения межимпульсных интервалов с заданным шагом (Δ) изменения значения интервала (фиг. 2, A, B, B);
- 4) серия гистограмм, каждая из которых вычисляется для последовательных участков исследуемого "набора", содержащих по $\Delta \Lambda$ чисел (интервалов).

При необходимости указанная частота может быть изменена.

Результаты вычислений печатались вычислительной машиной в виде чисел.



фиг. 2. Гистограммы распределения межимпульсных интервалов спайковой активности нейронов красного ядра кошки, вычисленные с различным шагом (Δ) изменения значения интервалов.

Вверху—анализ экстраклеточной активности нейрона. Общее количество интервалов-N=1116. $A-\Delta=1$; $B-\Delta=3$; $B-\Delta=5$; Γ — частотная функция (гистограмма времени), $\Delta t=1$ сек. Внизу—анализ внутриклеточной активности, N=5565; значения A, B, B и Γ —те же. Под гистограммами даны образцы активности нейронов. Время = 100 мсек; калибровка 2,2 и 14,5 мв соответственно для экстрани внутриклеточной активности.

Для более полной автоматизации процесса статистической обработки результаты вычислений могут быть получены с помощью самопишущего устройства, смонтированного на выходе вычислительной машины.

Вычислительный центр и Институт физиологии им. Л. А. Орбели Академии наук Армянской ССР

Ա. Վ. ՊԻՊԻՆՈՎ, Գ. Ս. ՕՐԴՈՒՑԱՆ և Ջ. Ս. ՍԱՐԳՍՑԱՆ

Ուղեղի նեյբոնային աշխուժության միջիմպուլսային ընդմիջումների վինակագբական վեբլուծության մասին

Նկարադրված է մի սարք, որի միջոցով հնարավոր է նեյրոնային աշխուժության ժամանակային ընդմիջումները մտյննվ «Հրազդան-2» Լլեկտրոնային հաշվողական մեջենայի մեջ։ Իմպուլսների հաջորդականությունը նախապես գրանցվում է 6,25 մմ-ոց մագնիսական ժապավենի վրա։ Այնուհետև աշխուժության իմպուլսները նկարադրված սարքի միջոցով ձևավորավում են այնպիսի աղդանշանների, որոնք կարող են անմիջականորեն ընդունվել հաշվողական մեջենայի մուտքային սարքի կողմից։ Ինֆորմացիան մեջենայի մեջ մտցնելիս օգտագործվում է հաշվման ձի ծրագիր, որը թույլ է տալիս չափել և մերենայի հիշող սարջի ամեն մի րջիջում տեղադրեւընդմիջումների երեբական թվային արժեր։ Տեղադրման ընդունված սիստեմը հնարավորություն տալիս էլնկտրոնային հաշվողական մեջենայի մեջ միաժամանակ մտցնել մինչև 5100 թվային արժեր, որոնց մեծությունը կարող է փոփոխվել 1—4095 մլվոկ սահմաններում, երբ մեթենայի օպերատիվ հիշողության ունակությունը 2048 թիվ է։ Ընդմիջումների չափման սխալանքը չի դերավարանցում 1 մլվոկ։ Երբ ինֆորմացիայի ծավալը մեծ է, նրա մտցնելը և մշակելը կարող է իրա փոխանվել առանձին իւմբերով, յուրաքանչյուրում ընդգրկելով մինչև 5100 թիվ։ Հնարավոր է նաև տվյալ սարջի ելքից ստացված աղդանշանները գրանցել մազնիսական ժապավենի վրա՝ նպատակունենալով հետադայում, առանց սարջը օգտաղործելու, ինֆորմացիան մաղնիսական ժապակենից մտցնել հաշվողական մեջենայի մեջ։

ЛИТЕРАТУРА — ԳՐԱԿԱՆՈՒԹՑՈՒՆ

1 Л. Герштейн, Science, 131, 3416, 1811, 1960, ² С. Ф. Вайтулевич, А. М. Лих. ницкий. Ж. высш. нервн. деят., 16, 4, 747, 1966. ³ Б. Я. Пятигорский, Бюл. экспер. бнол. н мед., 61, № 6, 114, 1966. ⁴ Е. А. Шкабара, Ю. С. Рубашоз, Фізіол. ж., 10, 3, 301, 1964. ⁶ Э. М. Смелянская, В. С. Якобсон, Вопросы радиоэлектроники, серия 7, вып. 5. 37, 1966.

